

## التوصية 3-ITU-R M.1039

**تقاسم الترددات المشتركة بين محطات الخدمة المتنقلة العاملة تحت 1 GHz والمحطات الأرضية المتنقلة لأنظمة الساتلية المتنقلة غير المستقرة بالنسبة إلى الأرض (أرض - فضاء) تستعمل النفاذ المتعدد بتقسيم التردد (FDMA)**

(المسألة 83/8 ITU-R 84/8 والمسألة 84/8 ITU-R 201/8)

(2006-2000-1997-1994)

**مجال التطبيق**

تقدم هذه التوصية منهجيات حسابية لتناول تقاسم الترددات المشتركة بين المحطات في الخدمة المتنقلة العاملة تحت 1 GHz والمحطات الأرضية المتنقلة لأنظمة الساتلية المتنقلة غير المستقرة بالنسبة إلى الأرض. وترتدي فيها أيضاً منهجية سريعة لإعطاء تقرير للتدخلات وكذلك إجراء حسابات أدق باستعمال طائق إحصائية مفصلة.

إن جمعية الاتصالات الراديوية للاتحاد الدولي للاتصالات،

إذ تضع في اعتبارها

- أ) أن الطيف الراديوي الذي خصصته المؤتمرات العالمية للاتصالات الراديوية (WRC-92 و WRC-95 و WRC-97) للخدمات المتنقلة الساتلية (MSS) العاملة بسوائل مدار منخفض على الأرض (LEO) تحت 1 GHz، ينبغي أن يضمن لهذه الخدمات، في حالة التقاسم مع خدمات متنقلة، حماية كافية من التداخل الضار؛
- ب) أن الخدمات المتنقلة الساتلية العاملة بسوائل مدار منخفض على الأرض (LEO MSS) يمكن أن تضمن خدمات الاتصالات الراديوية المطلوبة، لا سيما خدمات الإنذار في حالات الطوارئ (راجع الملاحظة 1)؛  
الملاحظة 1 - إلا أن هذه الخدمات لن تعرف بخدمات السلامة، وفقاً لتعريف لوائح الاتصالات الراديوية.
- ج) أن استعمال المدارات المنخفضة حول الأرض (LEO) يتيح للمحطات الفضائية أن تستخدم الترددات الواقعة تحت 1 GHz بشكل فعال؛
- د) أن بعض تقنيات تنسيق وترتيب القنوات التي تستعملها الأنظمة الراديوية للخدمات الثابتة والمتنقلة في نطاق الترددات تحت 1 GHz يمكن أن تؤدي إلى تخفيض حمولة الحركة بالإرلنج في القنوات الفردية؛
- ه) أن تقنيات التخصيص الدينامي للقنوات هي ذات جدوى تقنية ملائمة، وهي تسمح عند الاقتضاء، بتقاسم الطيف بين الخدمات المتنقلة من ناحية، والخدمات المتنقلة الساتلية (MSS) ذات القدرة المنخفضة وعامل الاستخدام المحدود من ناحية أخرى؛
- و) أن مستعملمي الخدمات المتنقلة الساتلية غير المستقرة بالنسبة إلى الأرض (non-GSO MSS) يمكنهم الاستفادة من هذه الخدمات داخل مناطق جغرافية واسعة؛
- ز) أن المحطات الأرضية المتنقلة (MES) تقوم بإرسال رسقات قصيرة؛
- ح) أن خصائص الإشارة تحت 1 GHz للخدمات المتنقلة الساتلية (MSS) تسمح بتقاسم الترددات المشتركة مع الخدمات المتنقلة؛
- ط) أن ثمة ضرورة لتحديد إمكانيات التقاسم بين الخدمات المتنقلة الساتلية (MSS) والخدمة المتنقلة (MS) عند النظر في تأثير إرسالات الخدمة المتنقلة في مستقبللي سواتل الخدمات MSS؛
- ي) أن تقنيات النمذجة الإحصائية تسمح بتقدير احتمال التداخل الذي تسببه خدمات MSS في الخدمة المتنقلة،

وإذ تضع في اعتبارها كذلك

أ) الاستعمال المكثف لتوزيعات الخدمات المتنقلة في عدد كبير من البلدان، الأمر الذي يفسر ارتفاع حمولة الحركة في بعض الأحيان؛

ب) أن أسلوب الانتشار الذي يستعمل أسلوب الانتشار في شكل موجات متربة يرد في التوصية ITU-R P.1546

وإذ تلاحظ

أ) أن من الضروري إعداد دراسات إضافية لتحديد قابلية النماذج الإحصائية للتطبيق بالكامل على الخدمات المتنقلة البحرية وفي الخدمات المتنقلة للطيران؛

ب) أنه يمكن تركيز توزيع مستعملي المحطات الأرضية المتنقلة (MES) في منطقة محددة في أثر إحدى السواتل مع مراعاة للعوائق الجغرافية؛

ج) أن التوصية ITU-R M.1184 تعرض الخصائص التقنية لشبكات الخدمات المتنقلة الساتلية العاملة بمدار سواتل غير مستقرة بالنسبة إلى الأرض (non-GSO MSS) تحت 1 GHz، التي تعتبر ملائمة للنماذج ولتحليل التقاسم والتدخل المحتمل بين المحطات الأرضية المتنقلة (MES) ومحطات الخدمات المتنقلة،

### توصي

**1** باستعمال المنهجية التحليلية الواردة في الملحق 1 للحصول على تقرير أولي لاحتمالات التداخل الذي تسببه المحطات الأرضية المتنقلة (LMS) التي تعمل عادة في نفس النطاق التردد، في المحطات المتنقلة الأرضية لنظام (MES) للخدمات non-GSO MSS؛

**2** بحساب احتمالات التداخل حساباً دقيقاً باستعمال الطائق الإحصائية التي تم تفصيلها في الملحقين 2 و3 لتقدير إمكانيات التقاسم بين محطات الخدمات المتنقلة والمحطات المتنقلة الأرضية غير المستقرة بالنسبة إلى الأرض (non-GSO MES) التي تستعمل النفاذ المتعدد بتقسيم التردد (FDMA) وتتمتع بتوزيعات أولية (أرض - فضاء) في النطاق التردد نفسه تحت 1 GHz؛

**3** باستعمال تقنيات التخصيص الدينامي للقنوات التي تمثل التقنيات المذكورة في الملحق 4 في حالة أنظمة الخدمات non-GSO MSS (بنطاق ضيق) التي تستعمل في توزيعات خدمات MSS تحت 1 GHz في نطاقات تسمح بتعزيز الملاعة مع خدمات الأرض.

## الملاحق 1

### منهجية تحليلية لحساب احتمال التداخل الذي تسببه المحطات الأرضية للخدمات في محطات LMS العاملة تحت 1 GHz

### مقدمة

### 1

يرد في هذا الملحق وصف منهجية تحليلية لحساب احتمال التداخل، الذي يأخذ بعين الاعتبار التداخلات التي قد تسببها محطات MES في محطات القاعدة للمحطة الحالية LMS، وهي تستعمل نموذج انتشار يستند إلى الصيغة الأخيرة من التوصية ITU-R P.370 (ITU-R P.1546 سابقاً).

وتحل هذه المنهجية المقترنة بتقدير احتمال التداخل تقييماً سهلاً وهي تطبق على كل نظام non-GSO MSS يستعمل النافذ المتعدد ب التقسيم التردد (FDMA). وعلاوة على ذلك، قد تسمح هذه الطريقة بتحليل أكثر سهولة لإمكانيات تقاسم الترددات بين الأنظمة non-GSO MSS وأنظمة الخالية للخدمة المتنقلة العاملة تحت 1 GHz.

## 2 غواص التداخل بين النظام non-GSO MSS ونظام الاتصالات المتنقلة الأرضية

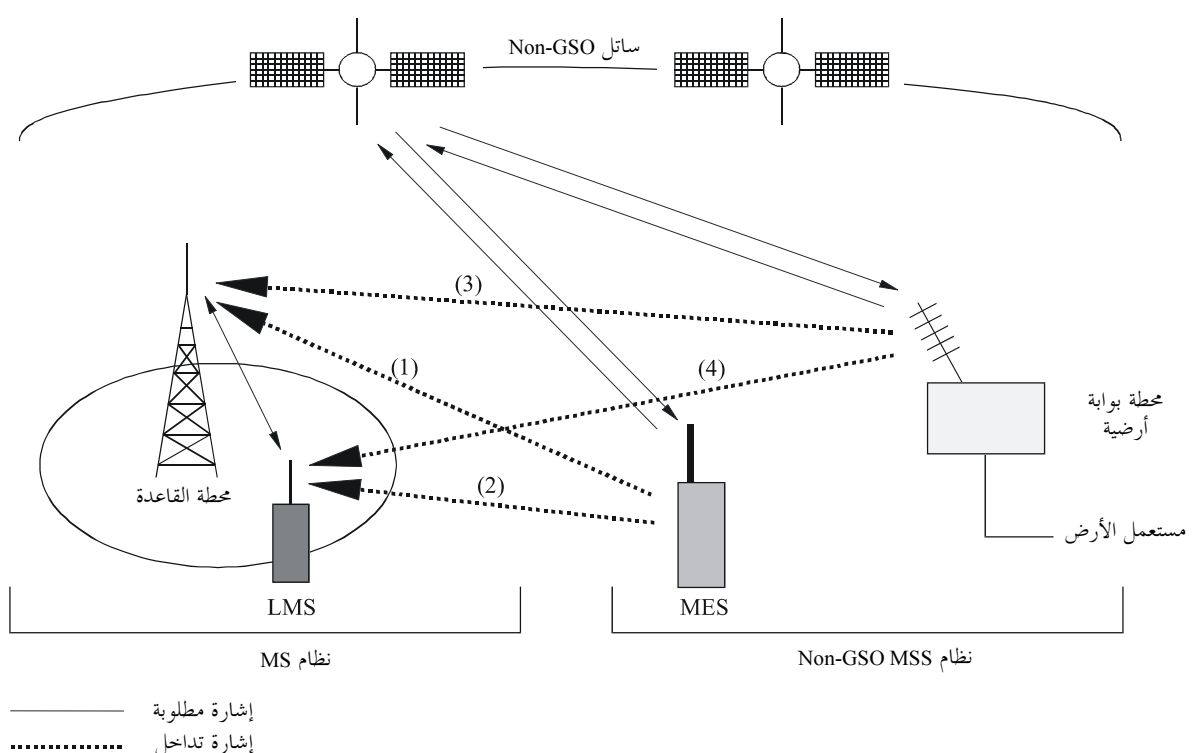
تستعمل وصلات أنظمة الاتصالات المتنقلة الأرضية ذهاباً وإياباً نطاق الترددات 148 – 149,9 MHz الموزعة على الأنظمة non-GSO MSS في الاتجاه أرض – فضاء. ويمكن أن يؤدي عمل أنظمة non-GSO MSS في نطاق الترددات 148 – 149,9 MHz، كما يوضح ذلك الشكل 1، إلى أربعة حالات من التداخل بين النظمتين:

- (1) تداخل تسببي المخطة MES لـ non-GSO MSS في محطة القاعدة للنظام الحالي للخدمة المتنقلة؛
- (2) تداخل تسببي المخطة MES لـ LMS لـ non-GSO MSS في محطة القاعدة؛
- (3) تداخل تسببي المخطة الأرضية البواوية لـ non-GSO MSS في محطة القاعدة؛
- (4) تداخل تسببي المخطة الأرضية البواوية في المخطة LMS.

وتتطابق الحالتان (1) و(2) ضمن حالات التداخل الأربع مع مسارات التداخل بين المخطة MES وأنظمة الخالية للخدمة المتنقلة.

الشكل 1

## غواص التداخل بين النظام non-GSO MSS وأنظمة الخالية للخدمة المتنقلة



يصف هذا الملحق طريقة تقييم احتمال التداخل في المسيرين (1) و(2).  
ومن الضروري، فيما يتعلق بمسيري التداخل (1) و(2)، تقييم الأنظمة الحالية في أسلوب التسليط التاليين:

- أسلوب الاتصال،
- أسلوب الانتظار.

لا يحدث، في أسلوب الانتظار، تبادل أية معلومات بين المخطفين، إلا أن مستقبلي الخدمة المتنقلة هم حالة عمل ويكتنفهم استقبال نداء أو معلومة. وعندما يكون نظام الخدمة المتنقلة في أسلوب الانتظار، يتوقف إسكات المستقبل خلال مدة الرشقة التي ترسلها المحطة الأرضية المتنقلة  $\alpha + \max(450 \text{ ms}, \alpha)$  (على سبيل المثال،  $\alpha = 450 \text{ ms}$ ) نظراً إلى احتمال التداخل المشار إليه أدناه، ما عدا المستقبلون الذين يستعملون الإسكات بواسطة التحكم النغمي.

وتعرض الفقرات التالية المنهجية اللازمة لتقدير احتمال التداخل في مسيري التداخل (1) و(2) (انظر الشكل 1)، حيث تكون الأنظمة الحالية في أسلوب اتصال وانتظار في آن معاً.

### 3 خسارة الانتشار بين المحطة MES ومحطة القاعدة لنظام الخدمة المتنقلة

تصف التوصية ITU-R P.1546، ضمن نصوص قطاع الاتصالات الراديوية، خسارة الانتشار في نطاق الموجات المترية (هوائيات عالية الارتفاع). وتقدم هذه التوصية نتائج قياسات مجال إشارات التلفزيون في نطاق الموجات المترية على مستوى محطة استقبال تقع على  $d \text{ km}$ . وتعلق النتائج المقدمة بارتفاعات هوائيات مختلفة. وبالنظر إلى الأسباب الواردة أعلاه، تقدر خسارة الانتشار التي تحدد مسافة تسيير التداخلات بين المحطة MES ومحطة القاعدة في هذا النموذج، وفقاً للتوصية ITU-R P.1546. ويوضح الشكل 2 خسارة الانتشار في نطاق الموجات المترية بحسب مسافة الانتشار التي تخص ارتفاعات الهوائي المشار إليها في الصيغة الأخيرة من التوصية ITU-R P.1546 (ITU-R P.370 سابقاً). ويستعمل في حساب خسارة الانتشار في الشكل 2، 10% من القيم الزمنية. أما فيما يتعلق بنطاقات الترددات الأخرى، فيتعين تحين الشكل 2.

### 4 معلمات النظام

يمثل الشكل 3 نموذج التداخل الذي تسببه المحطة MES في محطة القاعدة والمحطة LMS لنظام الخالي للخدمة المتنقلة. وفيما يلي ملخص معلمات نظام محطة القاعدة، والمحطة LMS، والمحطة MES المستعملة في هذا السياق. ويشير الدليل  $n$  إلى النظام الذي يسبب التداخل، والدليل  $w$  إلى نظام معرفي التداخل، والدليل  $t$  إلى المرسل، والدليل  $r$  إلى المستقبل؛ ويشير الدليلان  $b$  و  $m$  إلى محطة القاعدة والمحطة LMS على التوالي.

#### 1.4 معلمات المحطة MES (محطة مسببة للتداخل):

جانب الإرسال	-
قدرة الإرسال: $P_{it}$ (dBm)	-
كسب هوائي الإرسال: $G_{it}$ (dB)	-
ارتفاع هوائي المحطة $h_i$ (m)	-

#### 2.4 معلمات محطة القاعدة (محطة معرضة للتداخل):

جانب الإرسال	-
قدرة الإرسال: $P_{bwt}$ (dBm)	-
كسب هوائي الإرسال: $G_{bwt}$ (dB)	-
خسارة مغذى الإرسال: $L_{bwt}$ (dB)	-

ارتفاع هوائي محطة القاعدة: (m)  $h_{bw}$  -  
جانب الاستقبال -

كسب هوائي الاستقبال: (dB)  $G_{bwr}$  -

خسارة مغذى الاستقبال: (dB)  $L_{bwr}$  -

ارتفاع هوائي محطة القاعدة: (m)  $h_{bw}$  -

حساسية المستقبل: (dBm)  $C_b$  -

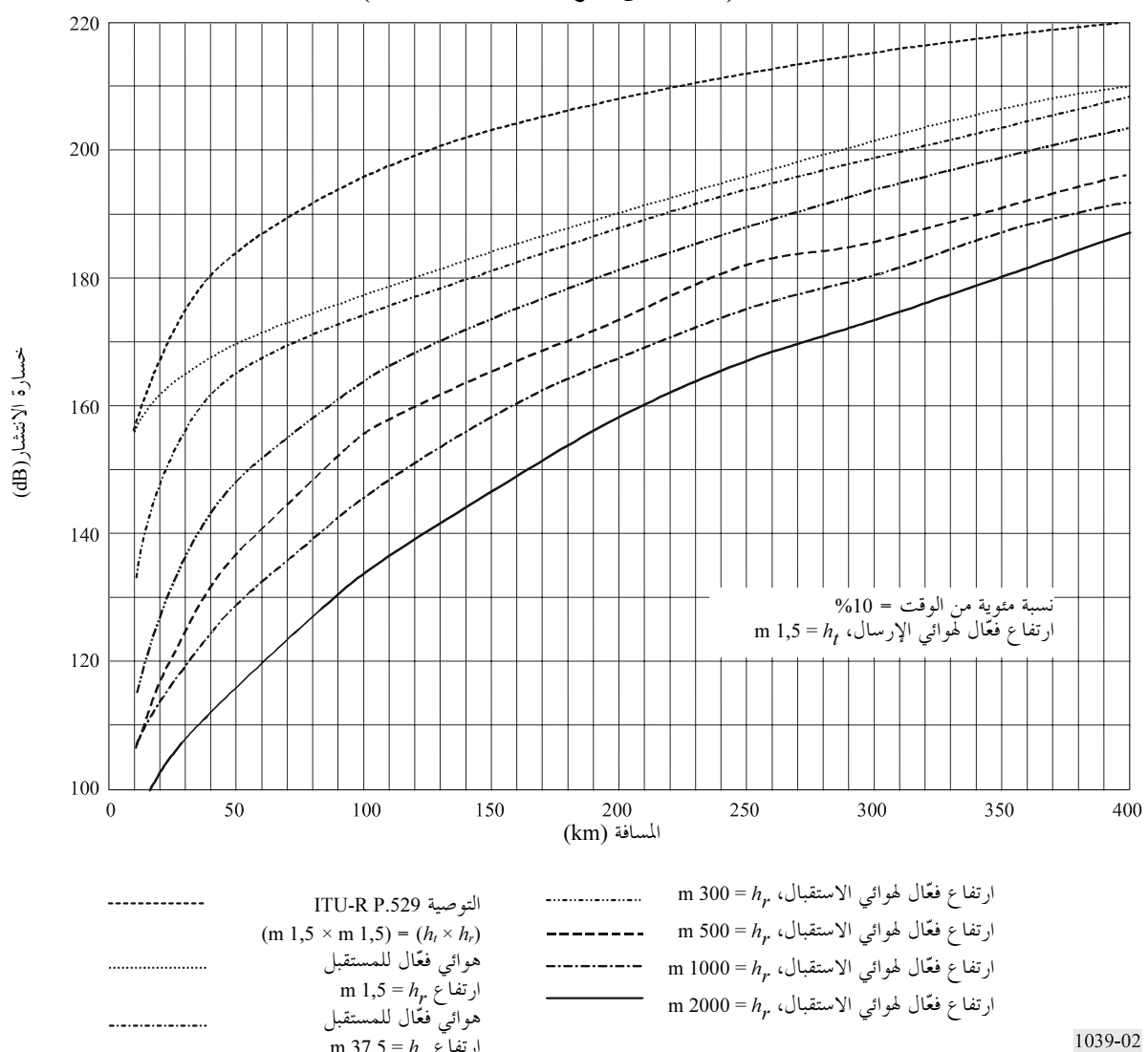
نسبة  $C/I$  المطلوبة: (dB)  $(C/I)_{br}$  -

سوية التداخل المسموح بها: (dBm)  $I_b$  -

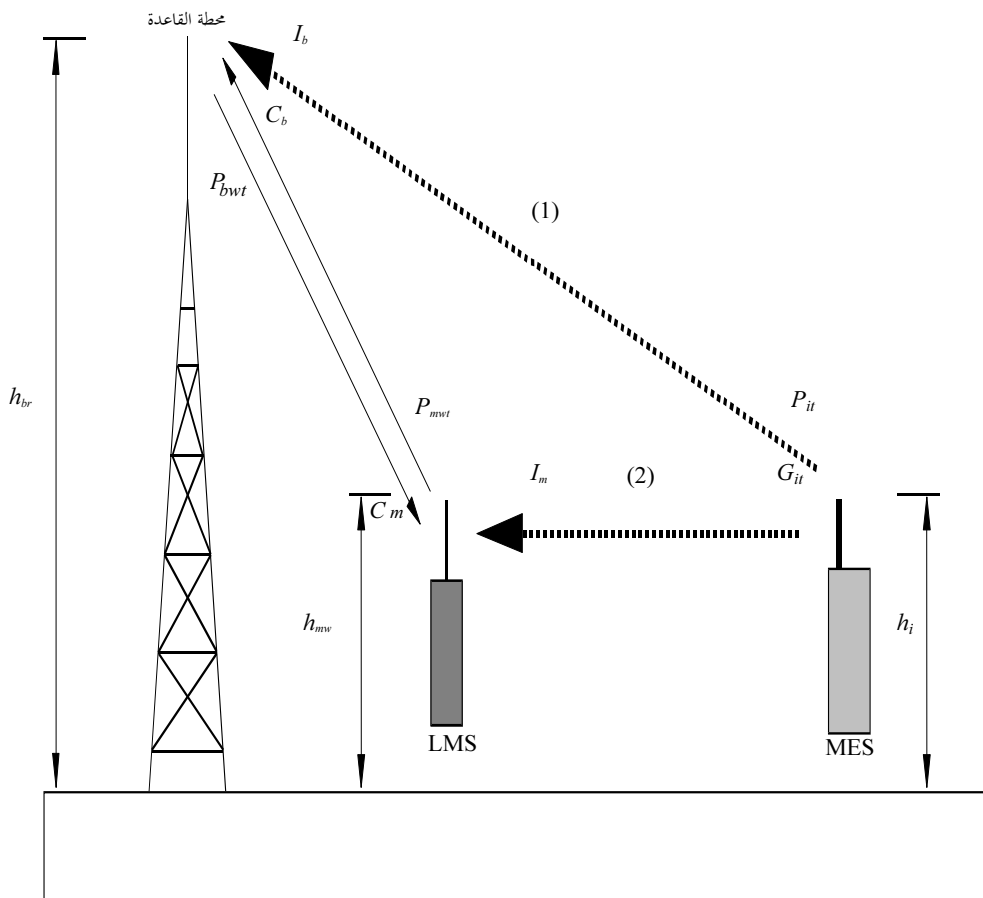
حساسية الإسكات: (dBm)  $P_{bsd}$  -

الشكل 2

**خسارة الانتشار في نطاق الموجات المترية  
(استناداً إلى التوصية 370 ITU-R P.370)**



الشكل 3  
أسلوب التداخل بين MES ونظام MS الحالي



1039-03

## معلومات محطة LMS (محطة معرضة للتداخل):

3.4

جانب الإرسال -

قدرة الإرسال (dBm)  $P_{mwt}$  -كسب هوائي الإرسال (dB)  $G_{mwt}$  -(m)  $h_{mw}$  ارتفاع هوائي المحطة -

جانب الاستقبال -

كسب هوائي الاستقبال (dB)  $G_{mwr}$  -(m)  $h_{mw}$  ارتفاع هوائي المحطة -(dBm)  $C_m$  حساسية المستقبل -(dB)  $(C/I)_{mr}$  نسبة  $C/I$  المطلوبة -(dBm)  $I_m$  سوية التداخل المسموح بها -(dBm)  $P_{msd}$  حساسية الإسكات -

## 5 حساب مسافة تنسيق التداخلات عندما يكون النظام الحالي للخدمة المتنقلة في أسلوب اتصال

### 1.5 التداخل الذي تسببه الخطة MES في محطة القاعدة (المسار 1) من الشكل (3)

لنفترض أن  $d_1$  تمثل المسافة القصوى بين محطة القاعدة والمحطة LMS وأنه يمكن استقبال الإشارة التي ترسلها المحطة LMS بنسبة  $S/N$  اللازمة على مستوى محطة القاعدة. وتعادل هذه المسافة  $d_1$  نصف قطر منطقة خدمة النظام الحالى للخدمة المتنقلة؛ وتمثل دائرة نصف القطر  $d_1$  الذى يحيط بمحطة القاعدة، على وجه الخصوص، منطقة خدمة النظام للخدمة المتنقلة. وإذا كانت  $C_b$  تمثل حساسية مستقبل محطة القاعدة، نحصل، بناء على ما تقدم من الفرضيات، على المعادلة (1):

$$(1) \quad C_b = P_{mwt} + G_{mwt} - L(d_1) + G_{bwr} - L_{bwr}$$

حيث:

$P_{mwt}$ : قدرة إرسال الخطة LMS

$G_{mwt}$ : كسب هوائي إرسال الخطة LMS

$L(d_1)$ : خسارة الانتشار على المسافة  $d_1$  بين محطة القاعدة ومحطة LMS

$G_{bwr}$ : كسب هوائي استقبال محطة القاعدة

$L_{bwr}$ : خسارة الاستقبال في مغذي محطة القاعدة.

وانطلاقاً من المعادلة (1)، يُعبر عن خسارة الانتشار بين محطة القاعدة ومحطة LMS بواسطة المعادلة (2) ونحصل على مسافة الانتشار،  $d_1$ ، انطلاقاً من الشكل 2:

$$(2) \quad L(d_1) = P_{mwt} + G_{mwt} + G_{bwr} - L_{bwr} - C_b$$

تحتوي المعادلة (3) على نسبة  $(C/I)_{br}$  المطلوبة على مستوى محطة القاعدة:

$$(3) \quad (C/I)_{br} = C_b - I_b$$

حيث:

$(C/I)_{br}$ : نسبة قدرة الإشارة المطلوبة إلى قدرة إشارة التداخل على مستوى محطة القاعدة

$C_b$ : حساسية مستقبل محطة القاعدة

$I_b$ : قدرة إشارة التداخل المسموح بها التي ترسلها محطة MES.

يُعبر عن سوية التداخل المسموح به، انطلاقاً من المعادلة (3)، بواسطة المعادلة (4):

$$(4) \quad I_b = C_b - (C/I)_{br}$$

ومع افتراض أن عدة أنظمة non-GSO MSS تعمل في نفس النطاق، توزع سوية قدرة التداخل المسموح بها والتي نحصل عليها بواسطة المعادلة (4) على هذه الأنظمة non-GSO MSS. وتحل المعادلة (5) محل المعادلة (4) في حالة وجود عدة أنظمة non-GSO MSS تعمل في نفس النطاق التردد़ي:

$$(5) \quad I_b = C_b - (C/I)_{br} - \alpha$$

حيث تمثل  $\alpha$  عامل تصحيح تشغيل عدة أنظمة non-GSO MSS في نفس النطاق الترددِي. وتعطي المعادلة (4)، عندما يمكن لكل نظام من الأنظمة non-GSO MSS أن يستعمل النطاق الترددِي المتخصص (باستعمال طريقة التجزئة)، سوية قدرة التداخل المسموح بها بالنسبة إلى كل نظام.

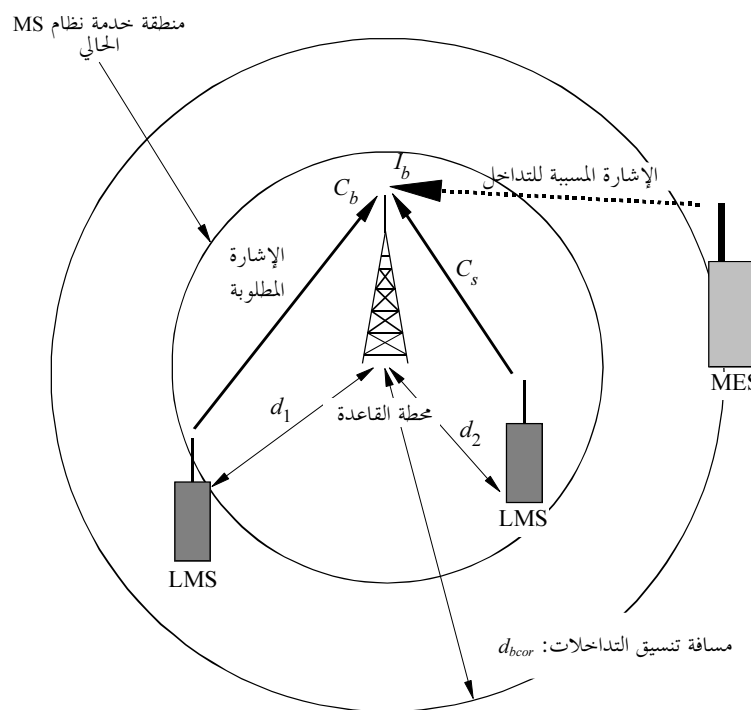
وعندما يُفضل بين محطة القاعدة والمحطة MES بواسطة مسافة التنسيق،  $d_{bcor}$ ، يمكن أن تُعادل قدرة التداخل التي ترسلها محطة MES و تستقبلها المحطة سوية التداخل المسموح به،  $I_b$ . ونحصل عندئذ على المعادلة (6). ويحتوي الشكل 4 على العلاقات القائمة بين مختلف العناصر:

$$(6) \quad I_b = P_{it} + G_{it} - L(d_{bcor}) + G_{bwr} - L_{bwr} - I_{so}$$

حيث تمثل  $I_{so}$  العزل في حالة اعتماد نظام non-GSO MSS للقنوات الواقعة بين القنوات الحالية للنظام. ويعرض الملحق 2 نتائج المحاكاة بالحاسوب التي تتعلق بتحسين سوية عزل القنوات المتجاورة التي نحصل عليها. مثل هذه التشيكية.

الشكل 4

#### مسافة تنسيق التداخلات لمحطة القاعدة في أسلوب الاتصال



$$C_b/I_b = (C/I)_{br}$$

$$C_s/I_b > (C/I)_{br}$$

1039-04

ويعبر عن خسارة الانتشار  $L(d_{bcor})$  عندما يُفضل بين محطة القاعدة والمحطة MES بواسطة مسافة التنسيق  $d_{bcor}$ ، بواسطة المعادلة (7) انطلاقاً من المعادلتين (4) و(6):

$$(7) \quad \begin{aligned} L(d_{bcor}) &= P_{it} + G_{it} + G_{bwr} - L_{bwr} - I_{so} - I_b \\ &= P_{it} + G_{it} + G_{bwr} - L_{bwr} - I_{so} - C_b + (C/I)_{br} \end{aligned}$$

ونحصل على  $d_{bcor}$ ، التي تمثل مسافة التنسيق بين محطة القاعدة والمحطة MES عندما توجد محطة LMS للنظام الحالي على طول منطقة الخدمة، انطلاقاً من المعادلة (7) والشكل 2. وبعبارة أخرى، نفترض أن جميع محطات LMS تعمل على طول منطقة الخدمة. ومن الطبيعي أن ندرك، بالاستناد إلى الشكل 4، أن محطات LMS التي تكون أكثر قرباً من محطة القاعدة تتمتع بنسبة  $S/N$  أكثر ارتفاعاً.

## 2.5 التداخل الذي تسببه المخطة MES في المخطة LMS (المسيير 2) في الشكل (3)

نفترض أن  $d_2$  تمثل المسافة القصوى التي تفصل محطة القاعدة عن محطة LMS، هذه الأخيرة التي تستقبل الإشارة التي ترسلها محطة القاعدة مع نسبة  $S/N$  المطلوبة. وتعادل هذه المسافة  $d_2$  المسافة القصوى التي تستقبل عندها محطة LMS إشارات محطة القاعدة مع نسبة  $S/N$  المطلوبة.

ويتم الحصول، بالنظر إلى الفرضيات الواردة أدناه، على حساسية مستقبل المخطة LMS،  $C_m$ ، بواسطة المعادلة (8):

$$(8) \quad C_m = P_{bwt} + G_{bwt} - L_{bwt} - L(d_2) + G_{mwr}$$

حيث:

- قدرة إرسال محطة القاعدة :  $P_{bwt}$
- كسب هوائي إرسال محطة القاعدة :  $G_{bwt}$
- خسارة الإرسال في مغذي محطة القاعدة :  $L_{bwt}$
- خسارة الانتشار في المسافة  $d_2$  التي تفصل محطة القاعدة عن محطة LMS :  $L(d_2)$
- كسب هوائي استقبال محطة LMS :  $G_{mwr}$

ويعتبر، انطلاقاً من المعادلة (8)، التعبير عن خسارة الانتشار بين محطة القاعدة ومحطة LMS بواسطة المعادلة (9):

$$(9) \quad L(d_2) = P_{bwt} + G_{bwt} - L_{bwt} + G_{mwr} - C_m$$

حيث:

- ( $C/I)_{mr}$ : نسبة قدرة الإشارة المطلوبة إلى قدرة إشارة التداخل على محطة LMS
- حساسية مستقبل المخطة LMS :  $C_m$
- قدرة التداخل المسموح بها :  $I_m$

وهو ما تعبّر عنه المعادلة (10):

$$(10) \quad (C/I)_{mr} = C_m - I_m$$

ويُعتبر، انطلاقاً من المعادلة (10)، على سوية التداخل المسموح بها،  $I_m$ ، بواسطة المعادلة (11):

$$(11) \quad I_m = C_m - (C/I)_{mr}$$

وينبغي تطبيق عامل التصحيح المحدد في المعادلة (5) عندما تعمل عدة أنظمة non-GSO MSS في نفس النطاق، وذلك للحصول على السوية المسموح بها لقدرة التداخل المسموح بها لكل نظام non-GSO MSS.

وعندما يُفصل بين المخطة MES والمخطة LMS بواسطة مسافة التنسيق  $d_{mcor}$ ، تتطابق قدرة التداخل التي ترسلها محطة MES وتستقبلها المخطة LMS مع قدرة التداخل المسموح بها،  $I_m$ ، (انظر الشكل 5)، وهو ما تعبّر عنه المعادلة (12):

$$(12) \quad I_m = P_{it} + G_{it} - L(d_{mcor}) + G_{mwr} - I_{so}$$

ويمكن لنا، انطلاقاً من المعادلتين (11) و(12)، أن نعبر عن خسارة الانتشار في مسافة التنسيق ( $L(d_{mcor})$ )، بواسطة المعادلة (13):

$$(13) \quad \begin{aligned} L(d_{mcor}) &= P_{it} + G_{it} + G_{mwr} - I_{so} - I_m \\ &= P_{it} + G_{it} + G_{mwr} - I_{so} - C_m + (C/I)_{mr} \end{aligned}$$

ونحصل على  $d_{mcor}$ ، التي تمثل مسافة التنسيق بين المخطة MES والمخطة LMS، انطلاقاً من المعادلة (13) ومن الشكل 2. وتوجد المخطة LMS، عند مسافة التنسيق هذه، على طول منطقة خدمة النظام الحالي. ويمكن في هذه التشكيلة التي يوضّحها الشكل 5، للمحطات المتنقلة الأرضية التي تقع أكثر قرباً من محطة القاعدة، أن تتمتع بنسبة  $S/N$  أكثر ارتفاعاً.

## 6 حساب مسافة التنسيق في الحالة التي يكون فيها النظام الحالي للخدمة المتنقلة في أسلوب انتظار

### 1.6 تداخل تسببه المخطة MES في محطة القاعدة (المسیر (1) في الشکل 3)

نفترض أن قدرة التداخل التي تستقبلها محطة القاعدة، كما يوضح ذلك الشکل 6، تعادل حساسية إسکانها عندما تقوم المخطة MES بالإرسال على مسافة  $d_{bi}$  من محطة القاعدة. وتمثل المسافة  $d_{bi}$  في هذه الحالة، مسافة التنسيق بين المخطة MES ومحطة القاعدة في أسلوب انتظار. وتحتوي المعادلة (14) على حساسية إسکات محطة القاعدة،  $P_{bsd}$ :

$$(14) \quad P_{bsd} = P_{it} + G_{it} - L(d_{bi}) + G_{bwr} - L_{bwr} - I_{so}$$

تمثل  $L(d_{bi})$  المسافة الفاصلة بين محطة القاعدة والمخطة MES، التي تستقبل عندها محطة القاعدة قدرة تداخل تُعادل حساسية إسکانها. ونحصل على مسافة التنسيق،  $d_{bi}$  ، انطلاقاً من المعادلة (14) والشکل 2.

### 2.6 تداخل تسببه المخطة MES في المخطة LMS (المسیر (2) في الشکل 3)

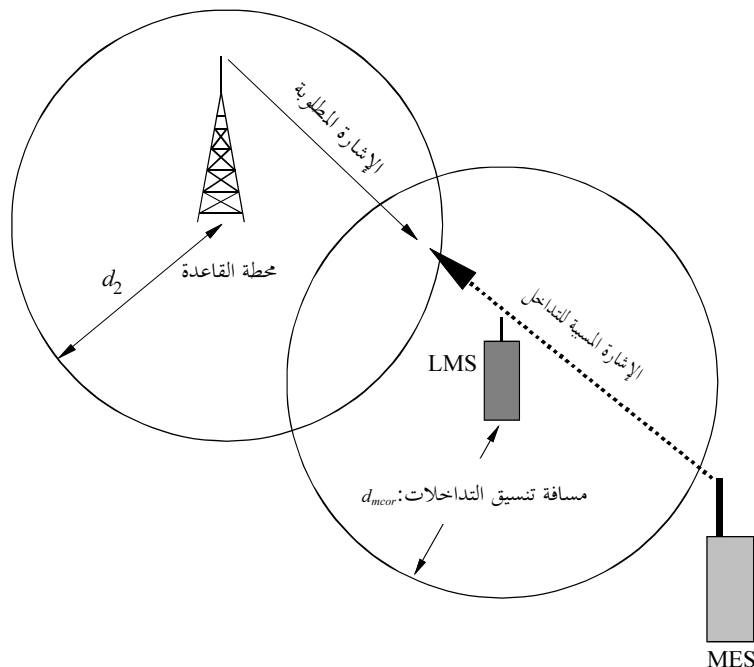
نفترض، كما يوضح ذلك الشکل 7، أن المخطة MES تستقبل قدرة تداخل تعادل حساسية إسکانها عندما تقوم المخطة LMS بالإرسال على مسافة  $d_{mi}$  من المخطة LMS. وتمثل المسافة  $d_{mi}$  في هذه الحالة، مسافة التنسيق بين المخطة MES والمخطة LMS في أسلوب انتظار. وتعطي المعادلة (15) حساسية الإسکات،  $P_{msd}$ :

$$(15) \quad P_{msd} = P_{it} + G_{it} - L(d_{mi}) + G_{mwr} - L_{mwr} - I_{so}$$

تمثل  $L(d_{mi})$  المسافة الفاصلة بين المخطة LMS والمخطة MES، التي تستقبل عندها المخطة LMS قدرة تداخل تعادل حساسية إسکانها. ونحصل على مسافة التنسيق،  $d_{mi}$  ، انطلاقاً من المعادلة (15) ومن الشکل 2.

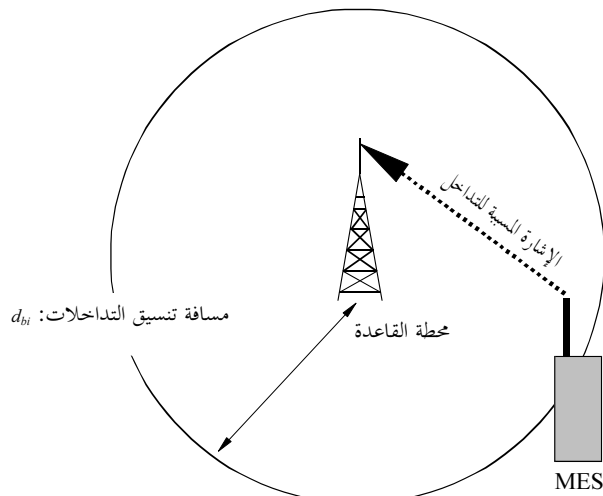
الشکل 5

### مسافة تنسيق التداخلات للمخطة LMS في أسلوب الاتصال



الشكل 6

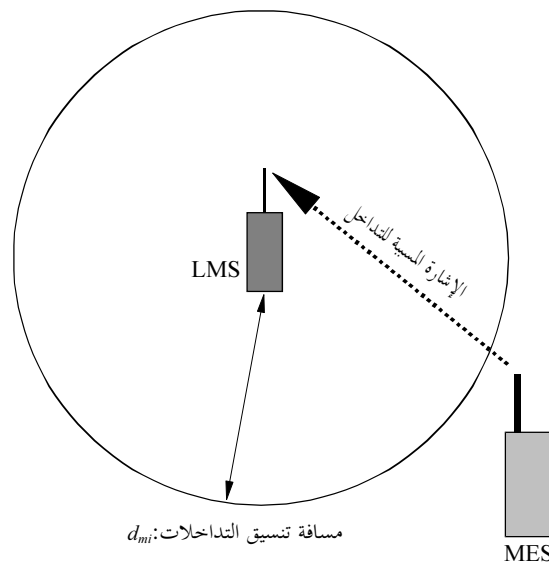
مسافة تنسيق التداخلات لمحطة القاعدة بأسلوب الانتظار



1039-06

الشكل 7

مسافة تنسيق التداخلات لمحطة LMS بأسلوب الانتظار



1039-07

## تقدير احتمال التداخل

7

لقد استعرضنا، في الفقرات السابقة، طرق تقدير مسافات التنسيق بالنسبة إلى مسیرین من التداخل المحتمل بين المحطة MES ومحطة القاعدة وبين المحطة LMS، في الحالات التي تكون فيها الأنظمة الحالية في أسلوب اتصال وأسلوب انتظار على التوالي. وتصف الفقرات اللاحقة طريقة تقدير احتمال التداخل.

### 1.7 احتمال الإرسال في نفس قناة الخدمة المتنقلة والمحطة MES

لنفترض أن  $P_I$  مثل احتمال استقبال قناة يستعملها نظام الخدمة المتنقلة لتدخل تسببه المحطة MES. تقدر  $P_I$  على النحو التالي:

$$(16) \quad P_I = \sum_{i=0}^m (P(\text{Interference into MS} | i \text{ channels active}) \times P(i \text{ channels active}))$$

حيث تشير  $P(i \text{ قنوات نشطة})$  إلى احتمال أن تكون القنوات  $i$  مشغولة من طرف المحطات MES النشطة لنظام بسوائل وحيث تشير  $m$  إلى العدد الأقصى للقنوات العاملة في آن معاً بالنسبة إلى ساتل non-GSO. ويمكن تقدير الحالة الأسوأ لـ  $P_I$  بالنسبة إلى الشروط التالية:

$$P(m \text{ قنوات نشطة}) = 1$$

$$P(i \text{ قنوات نشطة}) = 0 \quad (m \neq i)$$

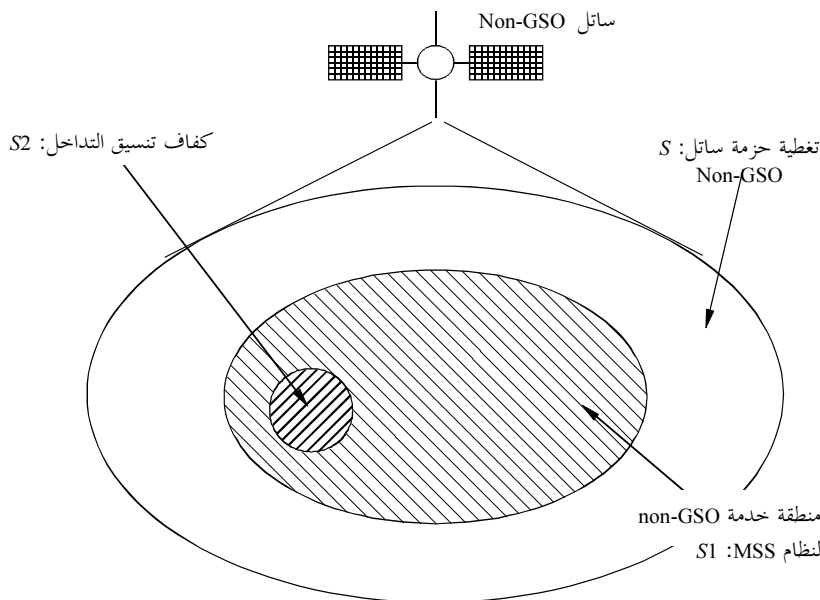
وإذا افترضنا أن محطات MES موزعة بشكل منتظم في منطقة تغطية نظام MSS، نحصل اطلاقاً من المعادلة (17) على العدد الأقصى للقنوات التي تستخدم في آن معاً بالنسبة لساتل non-GSO:

$$(17) \quad m(S2) = m \times \frac{S2}{S1}$$

حيث تمثل  $S1$  تغطية خدمة نظام MSS وممثل  $S2$  كفاف تنسيق التداخل (نصف قطر مساوٍ لمسافة التنسيق). ويبين الشكل 8 العلاقة القائمة بين  $S1$  و  $S2$ .

الشكل 8

#### مخطط توضيحي للحصول على احتمال أن تكون محطة MES واحدة نشطة



1039-08

وبالفعل، تبلغ  $P_I$  (تدخل يحدث في الخدمة المتنقلة  $i$  | MS قنوات نشطة) قيمتها القصوى عندما تكون  $i = m(S2)$ . وهكذا تكتب معادلة حساب  $P_I$  في الحالة الأسوأ:

$$(18) \quad P_I = P(\text{Interference into MS} | m(S2) \text{ channels active})$$

ومن الممكن، إذا كانت هذه الفرضية كثيرة التشاوؤم، تطبيق عامل  $\eta_L$  لمرااعة النسبة المئوية من الزمن الذي يستعمل فيها نظام :non-GSO MSS

$$(19) \quad P_I = P(\text{Interference into MS} | m(S2) \text{ channels active}) \times \eta_L$$

وإذا كانت  $M$  تمثل العدد الأقصى للقنوات المتاحة بالنسبة لنظام non-GSO MSS، نحصل على احتمال أن تُسبب قناة تختارها المخطة MES على  $m(S2)$  قنوات مسبيّة للتداخل في نظام الخدمة المتنقلة التي تستعمل نفس القناة،  $\eta_c$ ، انطلاقاً من المعادلة (20):

$$(20) \quad \eta_c = \frac{m(S2)}{M} \times \gamma$$

حيث تمثل  $\gamma$  عامل تصحيح احتمال انتقاء قنوات المخطة MES. وطالما أن  $M$  قنوات لا تكون عادة نشيطة على نحو منتظم نظراً لتأثير نظام التخصيص الدينامي للقنوات (DCAAS) بدالة النشاط الملحوظ، يمكن أن يطبق عامل التصحيح على العدد الأقصى للقنوات المتاحة.

ويمكن، انطلاقاً من المعادلين (17) و(19)، كتابة احتمال  $P_I$  المعطاة بالمعادلة (18) بواسطة المعادلة (21):

$$(21) \quad \begin{aligned} P_I &= \eta_c \times \eta_L \\ &= \frac{m(S2)}{M} \times \gamma \times \eta_L = \frac{m}{M} \times \gamma \times \frac{S2}{S1} \times \eta_L \end{aligned}$$

ونحصل على منطقة  $S2$  في المعادلة (21)، بواسطة مسافة التنسيق الواردة في المعادلات (7)، (13)، (14)، (15).  
وعندما تكون محطة القاعدة أو المخطة LMS للنظام الحالي للخدمة المتنقلة في أسلوب اتصال، نحصل على احتمال  $P_I$  انطلاقاً من المعادلين (22) و(23) على التوالي:

محطة القاعدة لنظام الخدمة المتنقلة في أسلوب اتصال

$$(22) \quad P_{bc} = \left( \frac{m}{M} \right) \times \gamma \times \eta_L \times \pi \times \frac{(d_{bcor})^2}{S1}$$

محطة LMS لنظام الخدمة المتنقلة في أسلوب اتصال

$$(23) \quad P_{mc} = \left( \frac{m}{M} \right) \times \gamma \times \eta_L \times \pi \times \frac{(d_{mcor})^2}{S1}$$

عندما تكون محطة القاعدة أو محطة LMS لنظام الحالي للخدمة المتنقلة في أسلوب انتظار، نحصل على احتمال  $P_I$  انطلاقاً من المعادلين (24) و(25) على التوالي:

محطة القاعدة لنظام الخدمة المتنقلة في أسلوب انتظار

$$(24) \quad P_{bw} = \left( \frac{m}{M} \right) \times \gamma \times \eta_L \times \pi \times \frac{(d_{bi})^2}{S1}$$

محطة LMS لنظام الخدمة المتنقلة في أسلوب انتظار

$$(25) \quad P_{mw} = \left( \frac{m}{M} \right) \times \gamma \times \eta_L \times \pi \times \frac{(d_{mi})^2}{S1}$$

## 2.7 معلمات أخرى تؤخذ في الاعتبار

من الضروري مراعاة، في ما يتعلق بتقدير احتمال التداخل الذي تسببه محطة MES في النظام الحالي في أسلوب الاتصال أو أسلوب الانتظار، إضافة إلى احتمال أن تسبب محطة MES تدخل في نفس القناة، التداخل في إحدى القنوات التي يستعملها نظام المحطة المتنقلة، المعلمات التالية:

**المعلمة 1:** النسبة المئوية من الزمن التي يكون فيها النظام الحالي في أسلوب اتصال

نفترض أن  $\eta_m$  تمثل النسبة المئوية من الزمن التي يكون فيها النظام الحالي في أسلوب اتصال. وعلى الصعيد العملي، يعمل النظام الحالي دوماً في أسلوب أحددي الاتجاه بواسطة مطراف زر ضاغط. وفي هذه الحالة، تبلغ نسبة وقت شغل القناة في كل اتجاه في الاتصال  $1/2$  من  $\eta_m$ .

**المعلمة 2:** احتمال إخفاق نظام التخصيص الدينامي للقنوات (DCAAS) في الكشف عن القناة النشطة التي يستعملها النظام الحالي

يملك نظام التخصيص الدينامي للقنوات (DCAAS) الذي يقع على متن السائل القدرة على الكشف عن جميع القنوات التي يستعملها النظام الحالي. غير أنه يمكن أن يحدث اعتراض بين المحطة LMS والسائل الذي لا يقوم بتنشيط نظام DCAAS للكشف عن الإشارات التي ترسلها المحطة LMS. وبالتالي، نفترض أن احتمال عدم كشف نظام DCAAS للقناة النشطة التي يستعملها النظام الحالي هو  $\eta_D$ .

**المعلمة 3:** عامل إمكانية رؤية السائل في حالة المحطات الأرضية البوابية المتعددة

إذا كانت هناك عدة محطات أرضية بوابية تقع في نفس المنطقة، يرتفع عدد السواتل التي يمكن لمحطات MES النفاذ إليها في آن واحد كما يرتفع احتمال تداخل النظام الحالي. وتشير  $\eta_G$  إلى نسبة عدد القنوات المتاحة في تشكيلة ذات المحطات الأرضية البوابية المتعددة وعدد القنوات المتاحة في حالة محطة أرضية بوابية واحدة.

**المعلمة 4:** عدد إشارات التداخل في عرض النطاق الذي تشغله حاملة الخدمة المتنقلة

عندما يكون عرض النطاق الذي تشغله الموجة الحاملة لنظام non-GSO MSS أكثر ضيقاً من عرض النطاق الذي تشغله الموجة الحاملة للخدمة المتنقلة، نلاحظ إشارات تداخل متعددة في عرض النطاق الذي تشغله الموجة الحاملة للخدمة المتنقلة المطلوبة. ويمكن أن نأخذ في الاعتبار، في هذه الحالة، سوية قدرة التداخل الإضافي التي ترد في المعادلة (26) من أجل نسبة ( $C/I$ ):

$$(26) \quad I = 10 \log \left( \frac{B_w}{B_i} \right)$$

حيث تمثل على التوالي  $B_w$  و  $B_i$  عرض النطاق الذي تشغله الموجة الحاملة للخدمة المتنقلة وعرض النطاق الذي تشغله محطة MES. وليس من الضروري أن يؤخذ في الحسبان التداخل الإضافي الذي يرد في المعادلة (26) عندما لا يقوم النظام العامل بمدار غير مستقر بالنسبة إلى الأرض بتعيين عدة قنوات لكل واحدة من شبكات التردد الموزعة على النظام الحالي.

ومن الضروري، لتقدير احتمال التداخل، استعمال، ضمن المعلمات التي سبق ذكرها، المعلمات من 1 إلى 4 عندما يكون النظام الحالي في أسلوب اتصال، واستعمال المعلمتين 3 و 4 عندما يكون النظام الحالي في أسلوب انتظار.

## 3.7 احتمال التداخل عموماً

بناء على ما تقدم، يُعبر عن احتمال التداخل،  $P_r$  ، بالنسبة إلى مسیرین من مسیرات التداخل المحتملة بين المحطة MES ومحطة القاعدة وبين المحطة MES والمحطة LMS، في أسلوب الاتصال والانتظار، بواسطة المعادلات التالية:

- النظام الحالي للخدمة المتنقلة في أسلوب الاتصال

$$(27) P_t \text{ (base station)} = P_{bc} \times \eta_D \times \eta_G$$

$$(28) P_t(LMS) = P_{mc} \times \eta_D \times \eta_G$$

وبحدر الإشارة إلى أنه بوسعنا أن نحسب النسبة المئوية من زمن التداخل بمضاعفة  $P_t$  بواسطة العامل  $\eta_m$ .

النظام الحالي للخدمة المتنقلة في أسلوب الانتظار

-

$$(29) P_I \text{ (base station)} = P_{bw} \times \eta_G$$

$$(30) P_I(LMS) = P_{mw} \times \eta_G$$

## الملحق 2

### الطائق والإحصاءات التي تحدد التقاسم بين مرسالات المحطات الأرضية في الخدمات المتنقلة الساتلية MSS تحت 1 GHz والمحطات المتنقلة

#### مقدمة

1

تصف الطائق التي يعرضها هذا الملحق طريقة تحدد إمكانية تقاسم الطيف بين مرسالات المحطات الأرضية المتنقلة (MES) في الخدمات المتنقلة الساتلية (MSS) والخدمات المتنقلة. وتتوفر الطائق الموصوفة قاعدة لتقدير فعالية حدود سوية القدرة بالنسبة إلى القدرة e.i.r.p. في المحطات MES، والتي يمكن أن تحدد من أجل إتاحة التقاسم مع الخدمات المتنقلة (راجع الملاحظة 1).

**الملاحظة 1** - يكون لإرسالات الوصلة الصاعدة من المخطة MES، بالإضافة إلى ذلك، مدة مثلثي للتقاسم مع بعض الخدمات الصوتية للأرض. وأشار إلى أن هذه القيمة قد تصل إلى 500 ms. أما متوسط الأزمنة التي قد يقوم في أثنائها هذا النمط من الإرسالات فهي تخضع لمزيد من الدراسات (اقتصرت نسبة 61% خلال فترة من 1 إلى 15 دقيقة).

#### 2 التداخل الذي يحتمل أن تسببه الخدمات MSS للخدمات المتنقلة

تتميز عموماً الخدمات المتنقلة في نطاق الموجات المترية (VHF) بتشكيل ترددىي لموجات حاملة للصوت والمعطيات تخضع على شبكة من القنوات متتظمة التباعد. وتتضمن مبعدات القنوات المستعملة القيم kHz 12,5 و kHz 15 و kHz 25 و kHz 30.

ويمكن أن تستعمل الأنظمة MSS تحت 1 GHz خوارزمية للتخصيص الدينامي للقنوات تسمح بالتعرف إلى القنوات التي لا تشغله المحطات المتنقلة التي تقاسم الطيف معها. وبهذا يتوقع أن يكون هناك فصل دلالي للترددات (15 kHz أو أقل) بين إرسال الخدمة MSS والتردد المركزي لمستقبل محطة متنقلة. غير أن من المتذرل لأغراض هذه المنهجية التتبؤ بعد بفعالية عملية التخصيص الدينامي للقنوات. ومن ثم يفترض أن انتقاء القنوات للوصلات الصاعدة MSS يوزع توزيعاً عشوائياً على درجات من 2,5 kHz (راجع الملاحظة 1) داخل توزيع الترددات للخدمات المتنقلة.

**الملاحظة 1** - تمثل قيمة الدرجة هذه قيوداً عملية على تنفيذ المركب مع خسارة صغيرة تتعلق بالتحليل.

#### 3 تلخيص المنهجية

يجب اتخاذ عدة خطوات من أجل تحديد احتمالات التداخل الضار الذي قد تسببه مرسالات المحطات MES في المحطات المتنقلة. وبين هذا القسم المنهجية الخاصة بهذا الغرض. أما الوصف التفصيلي لكل درجة من الدرجات فهو متضمن في الفقرات التالية.

### 1.3 كفاف التنسيق

تكمّن الخطوة الأولى في تحديد كفاف نمطي للتنسيق حول المستقبل المتنقل الواجب حمايته. ويتحدد ذلك من خلال المدى الذي ينبع عنده مرسل لمحطة MES أو زمرة من هذه المرسلات كثافة لتدفق القدرة تتجاوز السوية المحددة باعتبارها معياراً للحماية. ويجب، من أجل حساب هذه المسافة أن تعرف القيم التالية:

$$\begin{aligned} \text{أقصى قدرة e.i.r.p. لمحطة MES} &: (W) e.i.r.p_{mes} \\ \text{عرض نطاق الإشارة لمرسل لمحطة MES (Hz)} &: BW_{mes} \\ \text{كثافة تدفق القدرة pfd التي تعتبر ضارة (W/m}^2\text{)} &: pfd_t \\ \text{أقصى عدد متوقع لمرسلات محطات MES تعمل في آن معًا} &: N_t \\ \text{خسارة الانتشار بدلالة المسافة.} &: L(d) \end{aligned}$$

إذاً أمكن التتحقق من أن كفاف التنسيق صغير بما يكفي مقارنة مع التحرّكات المتوقعة للمحطات المتنقلة والمحطات MES، فلا حاجة لحسابات لاحقة. أما إذا كان كفاف التنسيق كبيراً إلى حد لا يسمح بهذا التحديد، فيجب أن تتفّذ الخطوط التالية.

### 2.3 حساب احتمال تجاوز العتبة

تستعمل تقنيات إحصائية من أجل تحديد النسبة المئوية من الزمن التي تتجاوز في أثنائها الكثافة  $pfd$  عتبة الحماية عند مستقبل المخطة المتنقلة. فإذا كان "احتمال التجاوز" منخفضاً بما يكفي، لا يعتبر تجاوز سوية الحماية تداخلاً ضاراً.

#### 1.2.3 المنطقة الجغرافية الخاضعة للحساب

تكمّن الخطوة الأولى في تحديد المنطقة التي تساهم فيها إرسالات المحطات MES مساهمة دلالية في إحصائيات الكثافة  $pfd$  المستقبلة عند المستقبل المتنقل. أما إذا استعملت منطقة واسعة للغاية، فمن المُحتمل أن يقلل نتائج ذلك من احتمال التجاوز المحسوب. وتحدد عادة هذه المنطقة بنصف قطر يقابل كفاف الحماية المعرف أعلاه.

#### 2.2.3 دالة كثافة احتمال القدرة pfd لمرسل واحد

إذا أخذت منطقة معينة تجري فيها الحسابات، تحسب بعدها دالة منفصلة لكتافة الاحتمال (راجع الملاحظة 1) بالنسبة إلى قيم كثافة القدرة  $pfd$  المتوقعة عند مستقبل متنقل. وتجري هذه العملية وفق مرحلتين، بدءاً بتحديد متغير عشوائي يصف التوزيع الاحتمالي للمدى الذي يفصل بين المخطة MES والمستقبل المتنقل. ثم يقدر احتمال كثافة خاصة لتدفق القدرة  $pfd$  باعتباره مصاحباً للمدى الذي ينبع هذه الكثافة  $pfd$  وفقاً للقدرة e.i.r.p. في المخطة MES ونموذج الانتشار والعزل المُحتمل للمرشاح.

**الملاحظة 1** – تعرف دالة كثافة احتمال القدرة (PDF) لمتغير عشوائي الترجيح الاحتمالي لكل من القيم التي قد يحملها هذا المتغير العشوائي. وتتساوي تكاميلية دالة كثافة الاحتمال الوحدة. وإذا ما حدّدت دالة جديدة لكل من القيم التي قد يحملها المتغير العشوائي بواسطة تكامل دالة كثافة الاحتمال من ناقص اللامباعي إلى قيمة المتغير العشوائي المعينة، ف تكون قد أنشأت دالة التوزيع التراكمي.

#### 3.2.3 دالة كثافة احتمال القدرة pfd في تشغيل متعدد الموجات الحاملة

تطبق دالة كثافة احتمال القدرة pfd المقابلة لهذا التعريف عند تشغيل مرسل لمحطة MES واحد. وتشتق دوال كثافة احتمال القدرة pfd المصاحبة لمرسلين أو أكثر من المحطات MES، انطلاقاً من دالة كثافة احتمال التشغيل بموجة واحدة وبواسطة طريقة تلافيفية تعرض في الفقرة 7.

#### 4.2.3 احتمال تشغيل مرسلات المخطة MES

يجب أن تخضع توزيعات كثافة تدفق القدرة pfd للاحتمال الفعلي بأن ينشط مرسل واحد أو أكثر من مرسل واحد للمخطة MES وذلك داخل منطقة المستقبل الواجب حمايته. وتعلق هذه الاحتمالات بسوية الحركة وتتمثل عادة بتوزيع " بواسون ". ويتوقف هذا الجزء من الحسابات بنمط خطة النفاذ المختار للنظام MSS، إلا أن أقصى احتمالات الإرسال تحدد مع افتراض استعمال فعال جداً للقنوات التي يجعلها مشغل النظام MSS متيسرة للاستعمال.

### 5.2.3 احتمال التجاوز

يتعلق احتمال التجاوز الفعلي بمحصلة حركة المغادرة وذلك داخل كفاف الحماية للمستقبل المتنقل. وتساوي في العادة نسبة منطقة تغطية المخططة الفضائية في النظام MSS إلى المنطقة التي يجدها كفاف الحماية نسبة 0,1% أو أقل. ونظراً إلى أنه من المتعذر تحديد التوزيع الفعلي لحركة النظام قبل تشغيل هذا الأخير، فإن الطريقة المذكورة لحساب احتمال التجاوز تبين كيف يحول هذا العامل إلى معلومة. وسوف تسهل هذه الطريقة فهم مدى تأثير سويات الحركة المتوقعة في احتمال تعرض مخططة متنقلة لتدخل ضار.

### 6.2.3 احتمال التجاوز بدلالة التداخل الفعلي

تبلغ في الواقع القيمة المحسوبة لاحتمال التجاوز في احتمالات التداخل الضار للأسباب التالية:

- تفترض الحسابات أن كل وصلة متنقلة تبقى نشطة سواء كانت في حالة إرسال أم استقبال؛
- تفترض الحسابات أن كل مستقبل متنقل يشغل في أقصى مدة (أدنى عتبة للأداء) دون هامش إضافي للوصلة. إلا أنه يمكن استعمال التحكم في القدرة في بعض الأنظمة مما يلغى هذا التأثير؛
- تسقط هذه الحسابات قيام الأنظمة MSS التي تستعمل تقنيات تحصيص القناة الدينامي بتجنب ترددات المستقبلات النشطة؛
- سوف ترسل بعض إرسالات المخطاطات MES رشقات قصيرة قد لا تؤدي إلى فتح جهاز الإسكات في مستقبلات عديدة وقد لا تكون مسموعة إذا ما حدثت في أثناء النشاط الكلامي على قنوات المحادثة. إلا أن الأداء قد يتعرض للانقطاع إذا ما استعملت القناة لإرسال المعطيات أو في وصلة تشوير وذلك مهما كانت مدة الرشقة قصيرة.

## 4 نموذج الانتشار المرجعي

يشار إلى نموذج مرجعي للوصلة وذلك لغرض تقدير احتمالات التداخل الذي قد تسببه مرسلات الوصلة الصاعدة لنظام LEO MSS في المخطاطات المتنقلة أو مخطاطات قاعدة (BS) في نطاقات الترددات تحت 1 GHz.

تعتبر خسارة الانتشار المتوقعة دالة لمسافة الفصل بين المرسل والمستقبل. وتعطي المعادلة التالية في تقرير أولي قيمة المجال عند الاستقبال:

$$(31) \quad E(1 \text{ kW}) = 70 - 40 \log(d) - 10 \log(f) + 20 \log(h_1 h_2) - 10 \log(0.02 p) [1 - \exp(-0.1d)]^2 \text{ dB}(\mu\text{V/m})$$

حيث:

$f$  : تردد يقع بين 20 و 1 000 MHz

$d$  : طول المسير الواقع بين 1 و 600 km

$h_1, h_2$ : ارتفاعات الهوائي الفعلية (m) لهوائي الإرسال وهوائي الاستقبال على التوالي، ولكل واحد منها قيمة دنيا قدرها 1 m، ويحدد الناتج ( $h_1 h_2$ ) بقيمة قصوى مقدارها 300 m<sup>2</sup>

$p$ : النسبة المئوية من الزمن التي يقع في أثنائها تجاوز قيمة المجال، وهي تقع بين 1 و 50%

حيث تقدر  $E$  بالنسبة إلى قدرة 1 kW مشع بثنائي نصف الموجة (e.i.r.p. dBW 32,15) وينبغي ألا تتجاوز  $E$  قيمة المجال المحرر،  $E_{fs}$  ، الذي ترد في المعادلة (dB) ( $\mu\text{V/m}$ ) بواسطة:

$$(32) \quad E_{fs}(1 \text{ kW}) = 107 - 20 \log(d) \text{ dB}(\mu\text{V/m})$$

ينبغي تعديل القيمة المحسوبة للمجال حتى تؤخذ قدرة e.i.r.p. للمحطة MES في الاعتبار:

$$E = E(1 \text{ kW}) + (P_{mes} - 32,15)$$

حيث:

$$P_{mes} : \text{قدرة e.i.r.p. لمحطة MES (dBW)}$$

وإذا حولت شدة المجال إلى كثافة تدفق القدرة التي ينتجها هذا المرسل عند مسافة  $d$  ، نحصل على:

$$(33) \quad pfd(d) = \frac{(E \times 10^{-6})^2}{120 \pi} \text{ W/m}^2$$

حيث يعبر عن  $E$  بواسطة  $\mu\text{V/m}$ .

ينبغي، من أجل تقدير احتمال التداخل الذي يسببه مرسل من النظام LEO MSS في محطة متنقلة، أن يستعمل ارتفاع الهوائي بمقدار  $10 \text{ m}^2$ . وتأخذ هذه القيمة في الاعتبار إمكانية أن تكون مرسالات النظام LEO MSS محمولة باليد أو مركبة على متن مركبات وليس مثبتة على أبراج. أما في حالة محطات القاعدة في الخدمة المتنقلة وفي حالة المستقبلات المحمولة جواً أو مرسالات النظام MSS، فينبع أن تستعمل هوائيات أكبر.

## 5 احتمال إرسالات متعددة من محطة MES

يتوقف احتمال التداخل كما أشير إليه في الفقرة 1.3، على العدد المتوقع لرسالات المحطات MES العاملة في آن معاً والتي قد تساهم في كثافة تدفق القدرة  $pfd$  الكلية الواردة عند مستقبل الخدمة المتنقلة. وتسمح بروتوكولات النفاذ العشوائي (راجع الملاحظة 1)، في بعض المناسبات، بإرسالات متعددة على التردد نفسه في آن واحد وتتمثل، من ثم، حالة الحد الأعلى للتداخل الكلي المتحمل في مستقبل محطة متنقلة. ويقدر احتمال تشغيل عدة مرسالات في آن واحد بواسطة توزيع بواسون:

$$(34) \quad P_a(n) = \frac{\Lambda^n}{n!} \cdot e^{-\Lambda}$$

حيث:

$n$ : عدد المرسالات المشغلة في آن معاً

$\Lambda$ : متوسط عدد الإرسالات لكل وحدة زمنية.

**الملاحظة 1** - تسمى عدة بروتوكولات نفاذ عشوائي ببروتوكولات "ALOHA" وهو اسم نمط محدد من بروتوكولات النفاذ العشوائي.

يحدد النمط الخاص لبروتوكول النفاذ العشوائي المختار قيمة  $\Lambda$  المناسبة. ويسمح استخدام بروتوكولات النفاذ العشوائي ذات الفواصل الزمنية بالحصول على أعلى قيمة للحركة المحمولة أي قيمة قصوى نظرية بنسبة 36,8%， أما الحدود العليا العملية فتبقى مجاورة لنسبة 30%. وهذا ما يقابل قيمة مضاعفة لقيمة الحركة ولقيمة  $\Lambda$  بالنسبة إلى تقنية بسيطة دون فوائل زمنية. ويجب أن تصمم الأنظمة تصميمياً يسمح بتشغيلها ضمن قيود الصبيب لبروتوكول النفاذ العشوائي من أجل المحافظة على جودة الخدمة. وبهذا وعلى الرغم من أن فترات قصيرة من تحمل للحركة إلى ما وراء قيم الاستقرار قد تلاحظ أحياناً، إلا أن من المعقول الافتراض بأن تشغيل هذه الأنظمة قد يبقى تحت حدود هذه القيم إذا أراد مشغلوها المحافظة على زبائنهم.

ويؤدي اختيار قيمة  $\Lambda = 0,4$  في عبارة توزيع بواسون إلى سويات ذروية للحركة يمكن تحقيقها عملياً في بروتوكول النفاذ العشوائي ذي الفوائل الزمنية. وبين الجدول 1 احتمال تشغيل عدد من المرسالات من 0 مرسل أو 1 أو 2 لغاية 6 أو مرسالات في آن معاً مع قيمة  $\Lambda = 0,4$ . ويكون احتمال تشغيل أكثر من 4 مرسالات في آن معاً 0,00001، وفقاً لهذا الجدول، فتصبح القيمة المناسبة  $N$  هي 4. إلا أن الممكن أن ينظر في استخدام قيم أخرى.

## الجدول 1

## القيم الممثلة لاحتمالات الإرسال من المحطات MES

$1 - C_a(n)$	$C_a(n)^{(1)}$	$P_a(n)$	$n$
0,329680	0,670320	0,670320	0
0,061552	0,938448	0,268128	1
0,007926	0,992074	0,053626	2
0,000776	0,999224	0,007150	3
0,000061	0,999939	0,000715	4
0,000004	0,999996	0,000057	5
0,000000	1,000000	0,000004	6

$C_a(n)$ : دالة توزيع تراكمية لقيم  $(n)$ .  $P_a(n)$

6 تقدير توزيع احتمالات الكثافة  $pfd$  في موجة حاملة واحدة

يقدر توزيع احتمالات الكثافة  $pfd$  في موجة حاملة واحدة وفقاً لفرضيتين أساسيتين: أن خسارة الانتشار بين المخطة MES ومستقبل المخطة المتنقلة يتعلق بالمسافة من ناحية وأن توزيع احتمالات كل مسافات الفصل الممكنة معروف. راجع بالنسبة إلى الفرضية الأولى الفقرة 4 المتعلقة بنموذج خسارة الانتشار. أما بالنسبة إلى الفرضية الثانية فستعمل كثافة منتظمة للمحطات MES (عدد المطارات في المتر المربع). ويمكن استعمال توزيعات أكثر تعقيداً لكن اختيارها قد يفترض ضمناً أن خاصية معينة لمستقبل الخدمة المتنقلة - ولا ترتبط هذه الظاهرة بترتيب موقع المخطات MES - قد تؤثر في توزيع هذه المخطات MES.

ويثبت بسهولة أن كثافة منتظمة لمحطات MES تنتج دالة لكتافة الاحتمال من نمط المنحدر بالوحدات خاصة بالمتغير العشوائي الذي يصف الفصل بين المخطات MES ومستقبل الخدمة المتنقلة. وتبين هذه الدالة المنفصلة لكتافة الاحتمال على النحو التالي:

$$(35) \quad P_s(d_i) = 2d_i / R^2$$

حيث:

$d_i$ : القيم المنفصلة لمسافات الفصل

$R$ : نصف قطر مسافة التسبيق التي تحيط بمستقبل الخدمة المتنقلة (km).

وينبغي أن يحسب تميز المرشاح بالنسبة إلى إرسال مخطة MES عند مستقبلات المخطة المتنقلة من أجل تخالفات بقيمة 2,5 kHz انطلاقاً من تردد اشتغال مستقبل الخدمة المتنقلة.

وينشأ صفييف من القيم مع دليل مقابل لقيمة كثافة القدرة  $pfd$  بينما تقابل قيم الصفييف قيم الاحتمالات. وتثبت كل القيم الأولية عند الصفر.

تستعمل كل قيمة من قيم المسافة كثافة احتمالات الفصل من أجل حساب كثافة  $pfd$  يوهنها تميز الترشيح عند كل موقع من موقع التخالف 2,5 kHz. وتقسم قيمة الاحتمال المصاحبة للمسافة على عدد حسابات تميز المرشاح المنفصلة وتضاف إلى قيمة الاحتمال المصاحبة من قبل لكتافة  $pfd$  المحسوبة. وتتكرر هذه العملية على امتداد جميع القيم ذات الدلالة الإحصائية وذلك لاستحداثات تابع كامل لتوزيع الاحتمال ويعبر عن هذا الحساب في المعادلة التالية:

$$(36) \quad \sum_{i=0}^{N_f} \sum_{j=0}^{N_f} P_{pfd} \left( \frac{pfd(d_i)}{A_j} \right) + = \frac{P_s(d)}{N_f}$$

حيث:

$A_j$ : تمييز المرشاح  $j \times 2,5 \text{ kHz}$  من التردد المركزي في المستقبل المتنقل

$N_f$ : عدد قنوات التردد التي يستعملها نظام MSS.

يشير الرمز " $= +$ " إلى إضافة العبارة في يمين المعادلة إلى المحتوى الحالي للمتغير عند الجانب الأيسر من المعادلة.

## 7 تقدير التوزيع الاحتمالي لكتافة القدرة pfd في التشغيل متعدد الموجات الحاملة

تقدر توزيعات احتمالات الكثافة pfd ببعض الموجات الحاملة تقديرًا تكرارياً يبدأ بالتوزيع pfd مع موجة حاملة واحدة المشار إليه أعلاه. ويستند ذلك إلى المبدأ القائل بأن التوزيع pfd لكل مرسل متحركة MES واحد لا يتغير وأن إرسالات المخطة MES مستقلة حسابة.

توصف عملية حساب القدرة pfd في خوارزمية إذ إن الحاسوب وحده يسمح بحساب التوزيعات بطريقة مبسطة. ويعتبر وجود توزيعين pfd منفصلين على شكل صفيحين من القيم  $P_{pfld1}$  و  $P_{pfld2}$ . وبحذر الإشارة إلى أن القيم pfd تقابل، عبر الدليل، قيم الصفييف بينما تساوي قيمة الاحتمال المصاحبة لسوية pfd معينة قيمة الصفييف بالنسبة إلى هذا الدليل.

وينشأ عندئذ صفييف ثالث  $P_{pfld3}$  مع مدى كافٍ لتغيير الدليل يسمح بترتيب قيم pfd ابتداءً من أدنى قيمة في توزيعات الدخول إلى مجموع أعلى القيم في توزيعات الدخول، وثبت كل قيم هذا الصفييف الثالث عند الصفر. وتحسب عندها العبارة التالية بالنسبة إلى كل قيم مؤشرات الدليل من أجل الحصول على التوزيع الكامل للكثافة pfd.

$$(37) \quad \sum_{i=0}^{I_{\max}} \sum_{j=0}^{J_{\max}} P_{pfld3}(pfld_i + pfld_j) = P_{pfld1}(pfld_i) \cdot P_{pfld2}(pfld_j)$$

وهذا يعني أن توزيع الكثافة pfd بالنسبة إلى موجتين حاملتين مشتق من التوزيع بموجة حاملة واحدة. وتشتق التوزيعات متعددة الموجات الحاملة من تركيبة مناسبة لتوزيعات خاصة بعدد أقل من الموجات الحاملة. فيشتقت مثلاً التوزيع الخاص بخمس موجات حاملة من خلال ضم التوزيعات بموجتين حاملتين وثلاث موجات حاملة أو بأربع موجات حاملة وموجة واحدة وفقاً للطريقة المذكورة أعلاه.

## 8 تحديد احتمالات الإرسال من محطة MES

يسمح توزيع بواسون بتقدير احتمالات أن يشغل مرسل واحد متحركة MES أو أكثر من مرسل أثناء وحدة معينة من الزمن. وتعرض الفقرة 5 الصيغة الخاصة بهذه العملية. وهذا ما يحدد توزيع الاحتمالات pfd من أجل عدد  $n$  من الموجات الحاملة بالنسبة إلى الاحتمالات الحالية لتنشيط عدد  $n$  من المرسلات في آن واحد. ويحدد المتغير  $\Lambda$  المعروف غالباً بشدة الحركة، الشكل الخاص لتوزيع بواسون.

وتقدر سويات شدة الحركة الالزامية لتحديد التداخل الكامن في الأنظمة MSS وفقاً لنسبة الحركة الكلية المرسلة إلى المخطة الفضائية في النظام MSS والتي تولد داخل المنطقة المحلية للمخطة المتنقلة الواجب حمايتها. وبحذر الإشارة إلى أن هذه الشروط العملية لتنفيذ النظام تحدد أقصى قيمة للمتغير  $\Lambda$  في توزيع بواسون بالقيمة 0,4 بينما يحدد تأثير نسبة مؤوية معينة من الحركة الكلية من خلال تنقيص قيمة  $\Lambda$  القصوى بالنسبة المئوية نفسها.

إذا كان من المتوقع مثلاً أن تكون نسبة الحركة المولدة في المنطقة المحلية للمخطة المتنقلة متساوية لنسبة المنطقة المحلية المعنية إلى منطقة التغطية الكلية لجزء نطيطة لساتل على مدار منخفض LEO (0,002)، فينبغي أن تستعمل قيمة  $\Lambda$  تساوي 0,0008. ويجب، في التطبيق العملي، أن يؤخذ عامل يصل إلى 50 من أجل مراعاة التأثيرات الجغرافية الذرورية.

## 9 حساب احتمالات التجاوز

يمكن أن تدمج الحسابات الإحصائية السابقة من أجل تحديد احتمالات تجاوز قيمة معينة لعتبة الكثافة  $pfd$  وسويات محددة لكتافة حرارة المخطة MES المحلية. ويوصى بأن تقدر العبارة المتضمنة في هذه الفقرة بالنسبة إلى سلسلة من هذه المعلومات نظراً إلى مدى التشكيك الخاص بكل منها. وينبغي أن تستعمل العبارة التالية من أجل تحديد قيمة احتمالات التجاوز التي تصاحب هذه المعلومات.

$$(38) \quad P_e(\Lambda, \tau) = \sum_{i=1}^{N_t} \frac{\Lambda^n}{n!} \cdot e^{-\Lambda} \cdot \left( 1 - \sum_{-\infty}^{\tau} P_{pfds}(pfd) \right)$$

### التدليل 1

#### بالملحق 2

#### مثال تطبيق لمنهجية الحساب

#### 1 مقدمة

يعطي هذا التدليل مثالاً لتطبيق المنهجية المشار إليها في هذه التوصية. ويتميز النمط الخاص من المخطatas MES قيد الدراسة بالخصائص التالية:

أقصى قدرة dBW 9	e.i.r.p. :	-
< kHz 4	عرض نطاق التشكيل:	-
حوالي MHz 150	تردد الإرسال:	-
ـ عرض نطاق عمل نظام MHz 2	MSS:	-

يقدم لاحقاً وصف تقنية التخصيص الدينامي للقنوات المقترحة لأنظمة MSS المشغلة تحت 1 GHz، وتليه نتائج الحسابات المعروضة في هذه المنهجية.

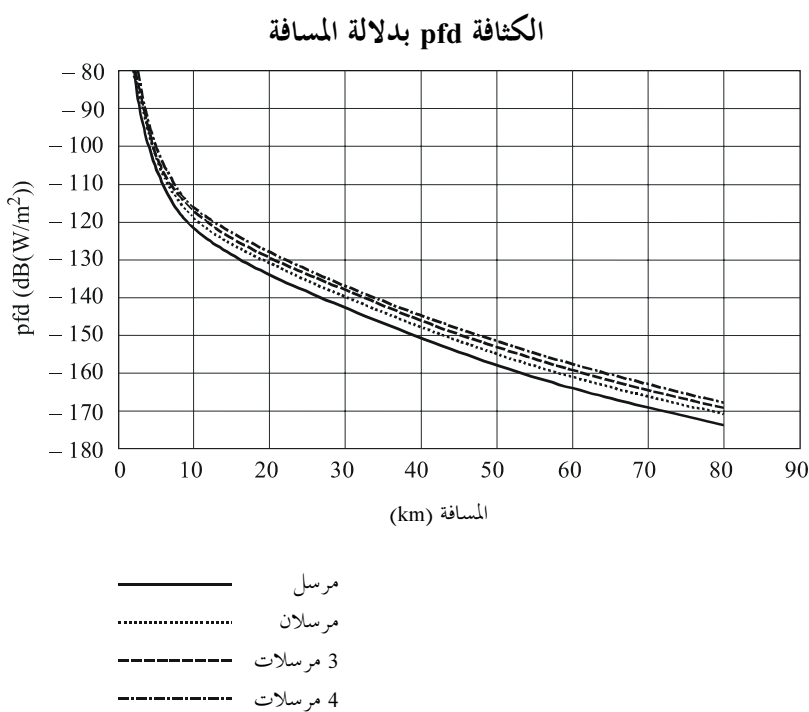
ويفترض المثال العزل التالي بين مرسل المخطة MES ومستقبل المخطة المتنقلة MS بمخصوص تخالف الترددات بالنسبة إلى تردد تشغيل هذا المستقبل. ونفترض فيما يتعلق بإرسالات المخطة MES التي يفوق تخالف الترددات فيها 12,5 kHz بالنسبة إلى تردد مستقبل المخطة المتنقلة، عزلاً قدره 23 dB.

الفصل (kHz)	العزل (dB)
0	0
0	2,5
0	5,0
2	7,5
8	10,0
23	12,5

## 2 حساب كفاف الحماية

يمكن، بالنسبة إلى نموذج معين لخسارة الانتشار وقيمة قصوى للقدرة e.i.r.p. التي ترسلها محطة MES، أن تحسب الكثافة pfd بدلالة المسافة كما تشير إليه الفقرة 4 من الملحق 2 بهذه التوصية. وتستعمل  $p$  في هذا المثال بالقيمة التالية :  $p = 1\%$ . ويمثل الشكل 9 الكثافة pfd بدلالة المسافة في حالة تشغيل مرسلي محطة MES إلى 4 مرسلات في آن معاً. والقيمة 4 هي القيمة المختارة لـ  $N$  وهي أقصى عدد متوقع للمرسلات على تردد معين كما تشير إليه الفقرة 5 من الملحق 2.

الشكل 9



1039-09

- وفقاً للشكل 9 ، يتبيّن أن من الممكن تجاوز سوية حماية بقيمة  $-140 \text{ dB} (\text{W}/(\text{m}^2 \cdot 4 \text{ kHz}))$  عند وجود:
- مرسلي على مسافة 27 km;
  - مرسلين على مسافة 30 km;
  - ثلاثة مرسلات على مسافة 33 km;
  - أربعة مرسلات على مسافة 35 km.

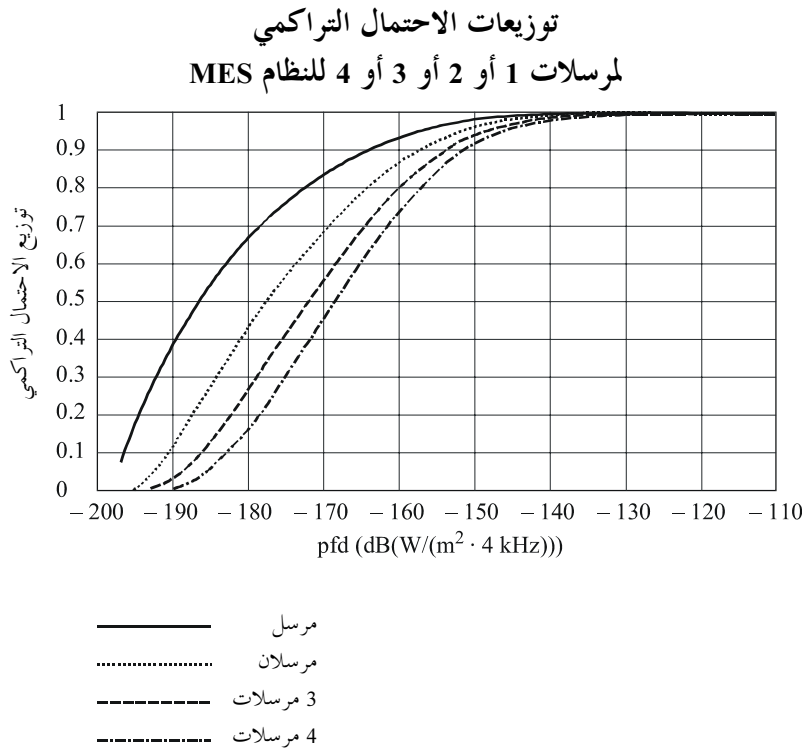
ومن ثم ينبغي أن يعرف كفاف التنسيق من أجل مسافة 34 km ومقاييس للحماية بقيمة  $-140 \text{ dB} (\text{W}/(\text{m}^2 \cdot 4 \text{ kHz}))$  وإذا كان تجاوز سوية الحماية ممكناً، فيجب أن تحدد احتمالات هذا التجاوز. ويصار إلى هذا التحديد من خلال تحليل الاحتمالات المعروض في الفقرات 6 إلى 9 من الملحق 2.

## 3 توزيعات كثافة تدفق القدرة (pfd)

يوضح الشكل 10 نتائج اشتقاء توزيع الاحتمالات للكثافة pfd بناء على e.i.r.p. بقيمة 9 dBW مرسلة من المحطة MES، وبالنسبة إلى تشغيل موجة حاملة واحدة أو 2 أو 3 أو 4. وقد حسب التوزيع داخل كفاف للتنسيق من 80 km، أي القيمة المختارة لقياس من الحماية  $-150 \text{ dB} (\text{W}/(\text{m}^2 \cdot 4 \text{ kHz}))$ . وتمثل النتائج في دوال للتوزيع التراكمي. وتقدر قيمة كثافة تدفق

القدرة الأكثـر انخفاضـاً لـدالة التوزيع التراكمـي  $-174 \text{ dB(W/(m}^2 \cdot 4 \text{ kHz})$ . وتـعد هـذه الـقيمة تـركـيبة كـثـافة الـقدرة مشـتـقة مـن أـسـلـوب الـانتـشار وـعـزـل الـترـددـات  $-23 \text{ dB(W/(m}^2 \cdot 4 \text{ kHz})$ .

الشكل 10



1039-10

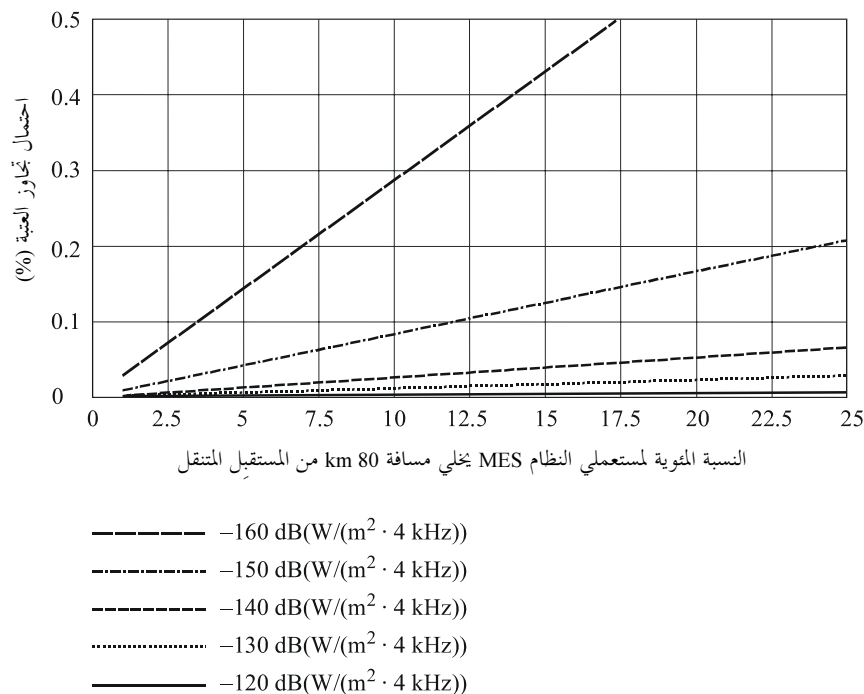
يمكن تحديد احتمال عدم تجاوز مقياس الحماية معبراً عنه بكثافة تدفق القدرة في حالة تنشيط عدد  $n$  من المرسلات وذلك من خلال تحديد دالة التوزيع التراكمي بالنسبة إلى هذه الكثافة لتدفق القدرة وإلى عدد  $n$  من الموجات الحاملة. ويساوي احتمال تجاوز العتبة 1 ناقصاً هذه القيمة. ويتعلق احتمال حدوث هذا التداخل باحتمال تنشيط عدد  $n$  من المرسلات كما تصفه الفقرة التالية.

#### 4 احتمالات التداخل

تعمل الاحتمالات الفعلية للتداخل في مستقبل معين بالنسبة الكلية من حركة النظام MSS التي تلاحظ داخل منطقة المستقبل المحلية. ويشير الشكل 11 إلى نسبة الحركة التي ينبغي لها أن تصدر عن المنطقة المحلية للمستقبل المتنقل، لكي تؤدي إلى احتمال معين من التداخل. فإذا حددت، مثلاً، سوية الحماية عند كثافة  $\text{pfд}$  بقيمة  $-130 \text{ dB(W/(m}^2 \cdot 4 \text{ kHz})$ ، فينبعى لنسبة مئوية من90% من العدد الإجمالي للمحطات الأرضية المتنقلة أن تقع ضمن مسافة 80 km من المستقبل قبل أن يتتجاوز احتمال التداخل نسبة 1%.

الشكل 11

احتمال تجاوز العتبة كدالة للنسبة المئوية لمستعملي النظام MSS  
يغطي مسافة 80 km من المستقبل المتنقل



1039-11

كذلك تبين هذه النتائج أن قطر منطقة خدمة الساتل الواحد، في نظام MSS ي العمل على ارتفاعات مدارية يتراوح مدتها من 700 إلى 900 km، يبلغ تقريباً 5 000 km. وتمثل المنطقة التي تغطي مساحتها 80 km والتي ترد في المثال،  $(80 \times 2/5 000)^2 = 0,01\%$  من منطقة خدمة الساتل. ومن المحتمل، إذا وزعت محطات MES بانتظام في منطقة الخدمة، أن يوجد 0,1% من محطات MES في منطقة 80 km حول المستقبل المتنقل، وحسب ما يتضح من الشكل 11، ينبغي ألا يتجاوز معيار التردد  $-130 \text{ dB}(W/(m}^2 \cdot 4 \text{ kHz})$  إلا في مدة 0,0001% من الوقت. وإذا وزعت محطات MES بحيث تحتوي المنطقة التي تغطي 80 km حول المستقبل المتنقل بصفة عشوائية 20 مرة نسبة محطات MES الموزعة بانتظام، فلن يتجاوز معيار  $-130 \text{ dB}(W/(m}^2 \cdot 4 \text{ kHz})$  إلا في مدة 0,0022% من الوقت. ومن ثم، يعد احتمال تجاوز معيار  $-130 \text{ dB}(W/(m}^2 \cdot 4 \text{ kHz})$  ضعيفاً، حتى في حالة الفرضيات الحذرية التي تتعلق بتوزيعات محطات MES.

### الملحق 3

## غمدجة إحصائية لتقاسم الترددات بين محطات الخدمة المتنقلة والمحطات الأرضية للأنظمة الساتلية المتنقلة غير المستقرة بالنسبة إلى الأرض مصحوبة بتوزيعات أولية (أرض - فضاء) تحت 1 GHz

### 1 مقدمة

يصف هذا الملحق طرق غمدجة تقاسم الطيف بين مرسلات المحطات الأرضية لنظام MSS والخدمات المتنقلة. وتعطى النماذج الإحصائية بالنسبة إلى التداخلات التي قد تسببها مرسلات المحطات الأرضية لنظام MSS في مستقبل الخدمة المتنقلة وبالنسبة إلى توافر القنوات أرض - فضاء عند تقاسم نظام MSS للترددات مع أنظمة الخدمة المتنقلة.

وعادة ما تختص الخدمات المتنقلة المستعملة تحت 1 GHz بمحاملات إشارات صوتية ومعطيات محوولة تماهياً أو رقمياً وتخصص على مجموعة من القنوات ذات التباعد المنتظم. وتمثل قيم تباعد القنوات في: 6,25 kHz و 12,5 kHz و 25 kHz . وترسل أنظمة MSS التي تستعمل عادة ترددات متقارنة في الاتجاه أرض - فضاء، رشقات قصيرة بشكل تناوبي (عامل استعمال ضعيف). وبين الملحق 2 من هذه التوصية إمكانية أن يصل طول الرشقات إلى 500 ms، وقد اقتصرت مدة 1%， تكون من 1 إلى 15 دقيقة. وأحياناً تستعمل أنظمة MSS العاملة تحت 1 GHz خوارزمية تحديد دينامي للقنوات (على سبيل المثال، الخوارزمية الواردة في الملحق 4)، تُمكن المخطة الفضائية من التعرف على القنوات التي لا تشغلهن المحطات المتنقلة التي تقاسم الطيف. ويراقب مستقبل السائل نطاق الترددات المتقارنة بأكمله ويحدد أجزاء الطيف التي يستعملها كل من نظام الخدمة المتنقلة والوصلات الصاعدة لسوائل نظام MSS العاملة بمدار غير مستقر بالنسبة للأرض. ويحد مستقبل مسح النطاقات الذي يقع على متن السائل بشكل كبير من احتمالات التداخل التي تسببها محطات MES في مستقبل الخدمة المتنقلة. إلا أن تقنية التحديد الدينامي للقنوات لا تتمكن، في العديد من الحالات، من التعرف على قناة خدمة متنقلة نشيطة:

- سوية قدرة نظام الخدمة المتنقلة أقل من عتبة كشف مستقبل مسح السائل؛
- انسداد المسير بين مرسل الخدمة المتنقلة والسائل؛ وبالتالي تكون سوية الإشارة المستقبلة ضعيفة جداً بحيث لا يتم الكشف عنها؛

بدء مرسل الخدمة المتنقلة في العمل على قناة يستعملها نظام MSS في آن معاً، مع أنه قد سبق تعينها كقناة محررة. وتسمح الطريقة المشار إليها في الفقرة 2 من هذا الملحق بحساب احتمال التداخل الذي يسببه مستقبل الخدمة المتنقلة بواسطة إرسالات المخطة MES في نظام MSS وحيد، دون استعمال تقنية التحديد الدينامي للقنوات.

وتمثل إمكانية الأخرى للتداخل المتبادل في الحالة التي تسبب فيها إرسالات الخدمة المتنقلة التداخل في مستقبل المخطة الفضائية لنظام MSS. ويمكن تفادي هذا النوع من التداخل بفضل مستقبل مسح النطاقات لنظام MSS الذي يحدد القنوات أرض - فضاء التي يستعملها محطات MES. وتعرض الفقرة 3 من هذا الملحق طريقة إحصائية يمكن استعمالها لضمان عدد كاف من القنوات المحررة اللازمة لتسخير إرسالات MSS أرض - فضاء. إلا أنه لا يمكن استبعاد خطر بدء مرسل الخدمة المتنقلة في استعمال قناة محررة مسبقاً في الوقت الذي ترسل فيه محطة MES على القناة نفسها، وهو ما قد يسبب التداخل في مستقبل المخطة الفضائية.

## 2 النمذجة الإحصائية للتداخلات التي تسببها محطات MES لأنظمة الساتلية المتنقلة غير المستقرة بالنسبة إلى الأرض في محطات الخدمة المتنقلة

يحدد النموذج الإحصائي التالي احتمال التداخل دون استعمال تقنية التخصيص الدينامي للقنوات. وتقديم فرضية الحالة الأسوأ هذه حداً أعلى للاحتمال الحقيقي للتداخل شبكة وحيدة من نظام MSS العامل بمدار غير مستقر بالنسبة إلى الأرض مصحوباً بتخصيص دينامي للقنوات.

وتتمثل معلمات المدخلات فيما يلي:

(أ) خطة ترتيب قنوات الخدمة المتنقلة (25, 12,5 أو 6,25 kHz)

تُستعمل لتحديد التردد المركزي للوصلة المتنقلة وعرض النطاق IF للمستقبل كما يرد ذلك في الجدول 2.

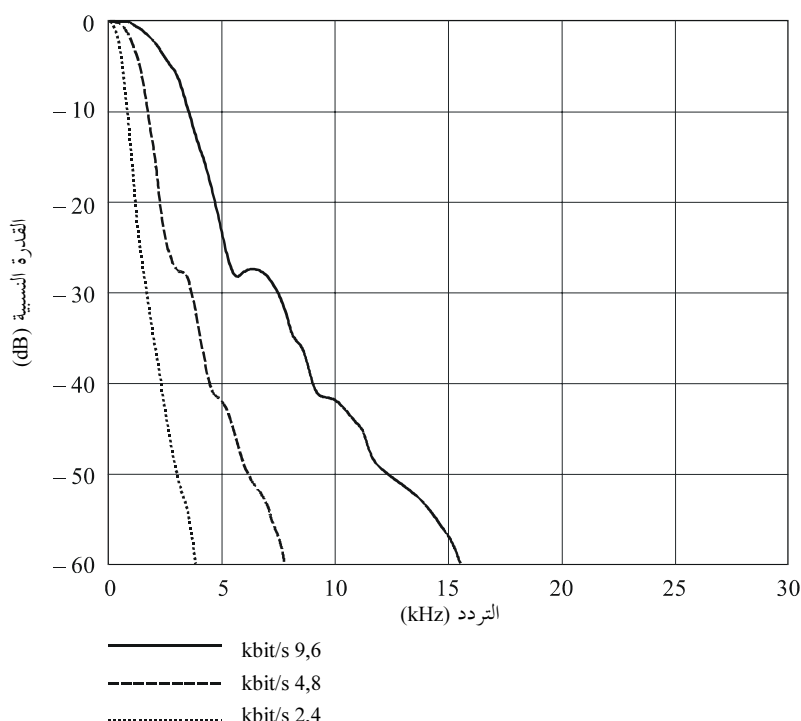
الجدول 2

### خطط غطية لترتيب قنوات الخدمة المتنقلة

عرض النطاق IF (kHz)	خطة ترتيب القنوات (kHz)
16	25
8	12,5
4	6,25

(ب) معدل المعطيات في الوصلات الصاعدة لمحطات MES (kbit/s 2,4, 4,8 أو 9,6) يُستعمل لتحديد طيف إرسال محطات MES (الشكل 12) وقدرة الإرسال (الجدول 3).

الشكل 12  
أقنة إرسال إشارة المحطة MES



الملاحظة 1 – هذه الأقنة مبنية من أجل تشكيل QPSK تغالي. ويمكن استعمال أنماط أخرى. وعندما يستحدث نموذج معياري يوصي به القطاع ITU-R ينبغي عندئذ استعمال قناع الإشارة الموصى به.

## الجدول 3

## أمثلة عن القدرات التي ترسلها الخطة MES

قدرة الإرسال <sup>(1)</sup> (W)	معدل المعطيات (kbit/s)
7	9,6
3,5	4,8
1,75	2,4

<sup>(1)</sup> قدرة إرسال كافية للحصول على القدرة اللازمة في القناة أرض - فضاء عند الاستقبال بواسطة الساتل.

## ج) التوزيع (المنظم أو التجمعي) لمحطات MES

تتوزع محطات MES، في حالة التوزيع المنتظم، بصورة منتظمة في المنطقة الأرضية الواقعه داخل حزمة الوصلة الصاعدة لساتل نظام MSS. وفي حالة التوزيع التجمعي، تكون كثافة احتمال محطات MES الموزعة داخل حزمة الساتل متناسبة تقريباً مع الكثافة السكانية.

## د) الانتقاء (العشوائي أو البياني) للقنوات من طرف محطة MES

يتم انتقاء قنوات الوصلة الصاعدة لنظام MSS، في حالة خوارزمية الانتقاء العشوائي، بصورة عشوائية على مدى 2,5 kHz من نطاق الترددات التي يتعين تقاسها (على سبيل المثال، 1 MHz). أما فيما يتعلق بخوارزمية الانتقاء "البياني"، فإن قنوات الوصلة الصاعدة لنظام MSS تكون محددة بموقع ترددات "биния" ، بين قنوات الخدمة المتنقلة.

وفيما يتعلق بمجموعة معينة من معلمات المدخلات، يجرى عدد كافٍ من الاختبارات تدوم نصف ثانية لضمان اعتمادية حساب احتمال التداخل. (يعتبر عدد المحاولات كافياً إذا لم يتغير احتمال التداخل تغيراً كبيراً عندما تقوم بمضاعفة عدد المحاولات). ويتبع اتباع المراحل التالية عند كل اختبار تبلغ مدة نصف ثانية:

المرحلة 1: انتقاء عشوائي لموقع مرسل الخدمة المتنقلة، كمرکز لمدينة من بين 20 مدينة ذات الكثافة الأعلى داخل حزمة الوصلة الصاعدة لساتل نظام MSS. (يمكن ضبط عدد المدن الأكثر كثافة من أجل الحصول على قيمة مماثلة لتوزيع السكان داخل حزمة الوصلة الصاعدة لساتل نظام MSS. وبصفة عامة، تبلغ مساحة منطقة التغطية النموذجية لحزمة الساتل 12 مليون  $\text{km}^2$ ).

المرحلة 2: انتقاء عشوائي لموقع مستقبل الخدمة المتنقلة باستعمال توزيع دائري لكتافة تدفق القدرة بين موقع المرسل (km 0) وحافة التغطية ( $R_C$ ). (يقع مستقبل الخدمة المتنقلة، حسب تعريف التوزيع الدائري لكتافة تدفق القدرة بصورة متساوية الاحتمال في أي مكان داخل منطقة التغطية الدائرية).

المرحلة 3: انتقاء عشوائي لتردد مرکزي لوصلة الخدمة المتنقلة،  $CF_{MS}$ ، في عرض نطاق 1 MHz من خطة ترتيب قنوات الخدمة المتنقلة.

المرحلة 4: تحديد عرض النطاق IF لمستقبل الخدمة المتنقلة،  $B_{IF}$ ، انطلاقاً من خطة ترتيب القنوات.

المرحلة 5: حساب المسافة،  $d_{MS}$ ، الفاصل بين مرسل الخدمة المتنقلة ومستقبل الخدمة المتنقلة.

المرحلة 6: انتقاء عشوائي من أجل 128 محطة MES نشطة في كل نصف ثانية في حزمة الساتل بواسطة توزيع الدخل، توزيع منتظم أو تجمعي، وهو ما يتوافق مع حوالي 22 مليون إرسال لنظام MSS في اليوم الواحد متأت من منطقة تغطية الحزمة، ويفترض ذلك أن يعمل نظام non-GSO MSS بنسبة 100% من إمكاناته النظرية. وبعد ذلك فرضية أخرى

من فضيات الحالة الأسوأ. (يقع اختيار عدد محطات MES النشطة بحيث يتطابق عدد الإرسالات على الوصلات الصاعدة مع الإمكانية الاسمية لنظام non-GSO MSS). ويتغير هذا العدد بحسب إمكانية شبكة MSS).

المرحلة 7: حساب المسافات،  $d_{MES-MS}$  ، التي تفصل بين محطات MES ومستقبل الخدمة المتنقلة (MS).

المرحلة 8: انتقاء عشوائي للترددات المركزية  $CF_{MES}$  ، في نطاق 1 MHz لكل واحدة من محطات MES مع تطبيق طريقة انتقاء الدخل، منتظمة أو "бинية".

المرحلة 9: تحديد طيف القدرة المشعة المتاحية المكافئة لمحطة MES،  $e.i.r.p_0(f)$ ، انطلاقاً من معدل المعطيات المنتقلة.

$e.i.r.p_0(f)$ : كثافة طيفية للقدرة المقيسة لإرسالات MES. ويحتوي الشكل 12 على تمثيل رياضي للمتحني المناسب.

المرحلة 10: حساب نسبة الموجة الحاملة إلى الضوضاء زائد التداخل على النحو التالي:

$$(39) \quad C/(N+I) = \frac{\frac{10^{PR/10} \times k T B_{IF} \times (R_C)^4}{d_{MS}^4}}{k T B_{IF} + \int_{\frac{CF_{MS} - \frac{B_{IF}}{2}}{2}}^{\frac{CF_{MS} + \frac{B_{IF}}{2}}{2}} \sum_{MESs} \frac{\beta e.i.r.p_0(CF_{MES} - f)}{d_{MES-MS}^4} df}$$

حيث:

نسبة حماية مستقبل الخدمة المتنقلة (dB)	$: PR$
ثابت بولتزمان ( $1,38 \times 10^{-23} \text{ J/K}$ )	$: k$
حرارة مستقبل الخدمة المتنقلة (K)	$: T$
عرض نطاق IF لمستقبل الخدمة المتنقلة (Hz)	$: B_{IF}$
المسافة الفاصلة بين محطة القاعدة للخدمة المتنقلة وحافة التغطية (m)	$: R_C$
المسافة الفاصلة بين مرسل الخدمة المتنقلة ومستقبل الخدمة المتنقلة (m)	$: d_{MS}$
تردد مركزي لقناة الخدمة المتنقلة (Hz)	$: CF_{MS}$
عدد المرسلات النشطة لمحطة MES	$: MES$
$(h_{MES})^2 \times h_{MS}^2 \times g_{MS} \times p_{MES} \times D_{MS}$	$: \beta$
ارتفاع هوائي لمحطة MES (m)	$: h_{MES}$
ارتفاع هوائي لمستقبل الخدمة المتنقلة (m)	$: h_{MS}$
كسب رقمي هوائي لمستقبل الخدمة المتنقلة	$: g_{MS}$
قدرة مرسل الخطة MES (W)	$: p_{MES}$
عامل تميز الاستقطاب هوائي لمستقبل الخدمة المتنقلة مقابل إشارات المحطة MES (عامل رقمي، أقل أو مساو لواحد)	$: D_{MS}$
كثافة طيفية للقدرة المشعة المتاحية المكافئة للمحطة MES التي تم تحديدها في المرحلة 9 والواردة أعلى (W/Hz)	$: e.i.r.p_0(f)$
تردد مركزي لكل مرسل MES (Hz)	$: CF_{MES}$
تردد (Hz)	$: f$
المسافة الفاصلة بين مرسل الخطة MES ومستقبل الخدمة المتنقلة (m)	$: d_{MES-MS}$

تستعمل المعادلة  $I = C/(N + p)$  أسلوب الانتشار الذي تعبّر عنه المعادلة (31) بقيم مجال متوسطة  $p = 50\%$ .  
 المرحلة 11: إذا كانت المعادلة  $I = C/(N + p)$  أقل من العتبة الاسمية لمستقبل الخدمة المتنقلة، تخلص إلى عدم وقوع تداخل.  
 يتمثل احتمال التداخل في نسبة عدد الاختبارات التي ينبع عنها التداخل بالنسبة إلى العدد الكلي للإختبارات. وتمثل هذه النتيجة احتمال تداخل مستقبل الخدمة المتنقلة التي تستقبل الإرسالات على نحو مستمر.  
 وعندما تكون حمولة حركة الخدمة المتنقلة ضعيفة، ينقص احتمال تداخل مستقبل الخدمة المتنقلة بواسطة عامل إرلنج الذي يطابق القناة.

وإذا أردنا فنوجة النسبة  $C/(N + p)$  ، مع قيم  $p$  مختلفة عن 50%， يتعين تعديل المعادلة (39) الواردة أعلاه والأخذ بعين الاعتبار تغيرات الخسارة على المسير حسب  $p$  والمسافة (راجع فنوجة الانتشار في المعادلة (31)).

### 3 فنوجة التداخل الذي تسببه محطات الخدمة المتنقلة في سواتل non-GSO MSS

تستعمل شبكات non-GSO MSS ب نطاق ضيق تقنيات التخصيص الدينامي للقنوات لتفادي استعمال هذه القنوات بصفة نشطة. وهكذا، طالما أن نظام التخصيص الدينامي للقنوات يتعرف بدقة على كافة القنوات النشطة للخدمة المتنقلة، فلن تقوم الوصلات الصاعدة لنظام non-GSO MSS بالإرسال إلا على قنوات بعيدة عن احتمال التداخل الذي تسببه محطات الخدمة المتنقلة. ويسمح هذا الفنوج بمعروفة إذا كان هناك عدد كافٍ من القنوات المحررة وغير المستعملة لدعم عمليات non-GSO MSS.

وتُحدد المحاكاة عدد محطات الخدمة المتنقلة في حزمة السائل الذي بإمكانه أن يعمل في الطيف المقاسم مع الإبقاء دوماً على متوسط ست قنوات على الأقل لكل سائل فيما يختص الوصلات الصاعدة لنظام non-GSO MSS. وتُحدد فرضية الحالة الأسوأ حدّاً أدنى لعدد محطات الخدمة المتنقلة التي يمكن أن تعمل في الطيف المقاسم مع السماح لشبكة non-GSO MSS بالعمل بنسبة 36% من إمكاناتها النظرية. (يسمح اختيار عدد المحطات الصاعدة لكل سائل بتشغيل كل سائل عند إمكاناته الاسمية).

وتتمثل معلمات الدخول في:

(أ) خطة توزيع قنوات الخدمة المتنقلة (25، 12,25 أو 6,25 kHz)

تستعمل بهدف تحديد شبكة الترددات المركبة لمحطة الخدمة المتنقلة وطيف الإرسال في الخدمة المتنقلة المبينة في الشكل 13.

(ب) معدل المعطيات على الوصلة الصاعدة لمحطة MES (kbit/s 2,4، 4,8 أو 9,6)

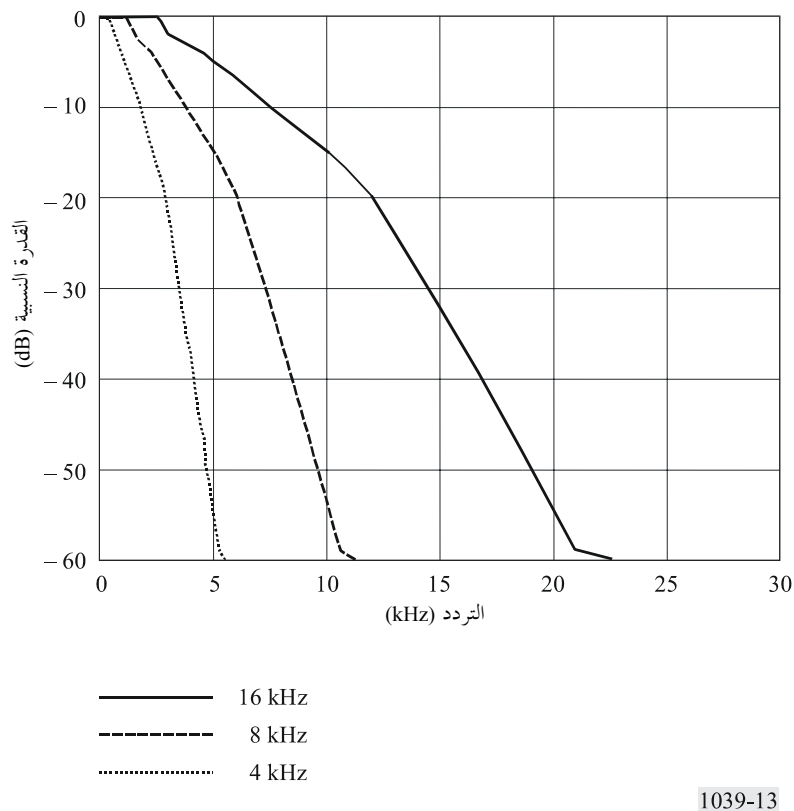
يستخدم من أجل تحديد شبكة الترددات المركبة للوصلات الصاعدة لنظام non-GSO MSS المبينة في الجدول 4.

(ج) جزء الطيف المقاسم (MHz 1 أو 5 MHz)

(د) متوسط عامل نشاط محطات الخدمة المتنقلة (E 0,0003 أو 0,001، 0,003 أو 0,01).

الشكل 13

## أقنية إرسال إشارة محطة الخدمة المتنقلة



الجدول 4

## عرض النطاقات النمطية لقناة الوصلة الصاعدة لمحطة MES

- بالنسبة لكل مجموعة من معلمات الدخل، يتعين اتباع المراحل التالية :
- المرحلة 1: تحديد العدد الأولي لمحطات الخدمة المتنقلة عند 1 000.
  - المرحلة 2: توزيع محطات الخدمة المتنقلة بشكل عشوائي في المنطقة التي تغطيها حزمة الوصلة الصاعدة للساتل.
  - المرحلة 3: تحديد القدرة المشعة المتناحية المكافئة لرسائل الخدمة المتنقلة،  $[e.i.r.p_0(f)]_{MS}$  بالاستناد إلى خطة ترتيب قنوات الخدمة المتنقلة.
- حيث:

$$(40) \quad [e.i.r.p_0(f)]_{MS} = e.i.r.p_{MS} \times PSD_0(f)$$

القدرة المشعة المتناحية المكافئة لمحطة الخدمة المتنقلة :  $e.i.r.p_{MS}$

الكثافة الطيفية للقدرة المقيسة لإرسالات الخدمة المتنقلة، ويحتوي الشكل 13 على تمثيل رياضي للمنحنى المناسب.

المرحلة 4: تحديد عرض النطاق،  $BW$ ، للقناة على الوصلة الصاعدة لنظام الساتل non-GSO MSS بحسب معدل معطيات محطة MES على الوصلة الصاعدة.

المرحلة 5: القيام، بالنسبة إلى كل اختبار، بتحويل زمني لمجموعة الساتل non-GSO MSS وإجراء عدد كاف من الاختبارات للتحقق من صحة حساب عدد محطات الخدمة المتنقلة. وتبع الخطوات التالية:

مرحلة فرعية 1: القيام باختيار عشوائي، بالنسبة إلى كل محطة من محطات الخدمة المتنقلة، لتردد مركري للإرسال،  $CF_{MS}$  ، ضمن الترددات المتقاربة (1 MHz أو 5 MHz)، في خطة ترتيب دخل قنوات الخدمة المتنقلة.

مرحلة فرعية 2: حساب زحزة التردد الناتجة عن الإزاحة الدوبليرة،  $\Delta f_{Doppler}$ ، بالنسبة إلى كل محطة من محطات الخدمة المتنقلة وكل ساتل non-GSO MSS، مع مراعاة السرعة النسبية للمرسل والمستقبل. ويعطى التخالف بواسطة إزاحة دوبليرة على مستوى المستقبل على النحو التالي:

$$(41) \quad \Delta f_{Doppler} = (v/c) F_0$$

حيث:

$$\begin{aligned} & \Delta f_{Doppler} : \text{خلاف ناجم عن إزاحة دوبليرة (Hz)} \\ & v : \text{سرعة نسبية بين المرسل والمستقبل (m/s)} \\ & c : \text{سرعة الضوء (m/s)} \\ & F_0 : \text{تردد الإرسال (Hz)} \end{aligned}$$

مرحلة فرعية 3: حساب نسبة التداخل إلى الضوضاء، بالنسبة إلى كل ساتل non-GSO MSS وبالنسبة إلى كل تردد مركري لقنوات الوصلة الصاعدة لنظام  $CF_{CH}$  ، ضمن الطيف المتقاسم، على النحو التالي:

$$(42) \quad (I/N)_{CH} = \frac{\epsilon}{BW} \cdot \int_{CF_{CH} - \frac{BW}{2}}^{CF_{CH} + \frac{BW}{2}} \sum_{MSs} \left( e.i.r.p_0 (CF_{MS} + \Delta f_{Doppler} - f) \right)_{MS} df$$

حيث:

$$(43) \quad \epsilon = (G/T)_{SAT} / [(Alt_{SAT} \times F \times (4\pi/c)^2 \times k \ BW) D_{SAT}]$$

حيث:

كسب على المحور الهوائي ساتل MSS (قيمة رقمية) مقسومة على درجة ضوضاء نظام الاستقبال (K-1) :

$$\begin{aligned} Alt_{SAT} & : \text{ارتفاع الساتل (m)} \\ F & : \text{تردد مركري للقناة (Hz)} \\ c & : \text{سرعة الضوء (m/s)} \\ k & : \text{ثابت بولتزمان (J/K)} \\ BW & : \text{عرض نطاق مستقبل الساتل لنظام MSS (Hz)} \end{aligned}$$

عامل فك اقتران الاستقطاب الهوائي ساتل نظام MSS بالنسبة إلى إشارات الخدمة المتنقلة (عامل رقمي، أقل أو مساو لواحد).

تستعمل المعادلة  $I/N$  نموذج الانتشار في المجال.

مرحلة فرعية 4: حساب عدد القنوات المحررة، بالنسبة إلى كل ساتل من سواتل non-GSO MSS، أي عدد القنوات التي تختص بـ  $I/N > 10$  dB.

**المرحلة 6:** إذا كان العدد الأدنى المحسوب للقنوات المحررة أعلى من 6، يرتفع عدد محطات الخدمة المتنقلة بمقدار 1 وتعاد الخطوات المذكورة أعلاه انتظاماً من المرحلة 2.

**المرحلة 7:** تنتهي العملية عندما يقع تحديد العدد الأقصى لمحطات الخدمة المتنقلة التي تسمح بستة قنوات محررة بصفة دائمة.

## التدليل 1 بالملاحق 3

### أمثلة على تطبيقات النماذج الإحصائية

#### 1 مقدمة

يتضمن هذا التدليل أمثلة على تطبيق النموذجين الإحصائيين اللذين يردا في الملحق 3 من هذه التوصية.

يعرض مثال الشبكة non-GSO MSS الخصائص التالية: 48 ساتللاً في 8 مستويات مدارية ذات  $50^{\circ}$  من الانحناء بالنسبة إلى خط الاستواء؛ يحتوي كل مستوى على ستة سواتل متساوية التباعد في مدارات دائيرية تقع على ارتفاع 950 km؛ تعدد الإرسال بنطاق ضيق بتقسيم ترددية بالنسبة إلى الإرسالات أرض - فضاء؛ الاستغلال بأسلوب التسجيل وإعادة الإرسال؛ الإرسال ضمن أرطال ذات 500 ms تحتوي على رزم رقمية؛ استعمال مستقبل مسح النطاقات على متن الساتل لتنفيذ نظام DCAAS الذي يسمح بتصنيف قنوات غير مستعملة لمحطات أرضية فيما يتعلق بالإرسالات على الوصلة الصاعدة؛ الاستغلال عند 149 MHz؛ ارتفاع هوائي المقطة MES قدره 1,5 m، مصحوباً باستقطاب رأسي وكسب قدره 0 dBi؛ معدل المعطيات على الوصلة الصاعدة ذات 2,4 kbit/s و 9,6 kbit/s. ويفترض أن نظام MSS يعمل عند أقصى قدراته فوق منطقة جغرافية محددة (على سبيل المثال، 22 مليوناً من الإرسالات الرزمية أرض - فضاء يومياً فوق منطقة الدول المجاورة للولايات المتحدة الأمريكية).

ويعرض نموذج المحطات LMS الخصائص التالية: نظام تماثلي بتشكيل التردد (أو نظام رقمي FSK بتشكيل اثنين)؛ هوائي استقطاب رأسي يبلغ كسبه 0 dBi في اتجاه الساتل؛ القدرة الدنيا المتوقعة للإشارة المستقبلة -140 dBW؛ عرض نطاق القنوات المستعملة للقيم 6,25، 12,5 و 25 kHz مع حمولة ضعيفة للإرلنخ على القنوات الفردية. وتعد الخصائص التقنية التي تُستخدم في هذا النموذج نفس خصائص بعض أنظمة المقطة LMS العاملة في النطاقات فوق 1 GHz. وفيما يتعلق بتحاليل تقاسم الترددات، تأخذ كثافة 20 مدينة أكثر كثافة في الولايات المتحدة الأمريكية.

#### 2 احتمالات التداخل الذي تسببه المحطات الأرضية non-GSO MSS في محطات LMS

تقع نبذجة المسافة الفاصلة بين المقطة LMS ومحطة القاعدة بواسطة توزيع دائري لكثافة تدفق القدرة يتراوح قدرها من 0 إلى 20 km، وتطابق مسافة 20 km مع عتبة القدرة المستقبلة. ويتم تحديد نسبة الحماية التي يستعملها مستقبل المقطة LMS عند 10,7 dB بينما تحدد درجة الحرارة عند 3 890 K ويبلغ ارتفاع هوائي مستقبل المقطة 3,22 m. ويمثل كل من هوائي استقبال المقطة LMS وهوائي إرسال المقطة MES نفس الاستقطاب؛ كما يساوي عامل فك اقتران الاستقطاب 1,0. وأخذت التوزيعات المنتظمة والتجميعية للمحطات الأرضية لنظام MSS في الاعتبار. واستعملت مائة وثمانية وعشرون مقطة في عملية المحاكاة. ونفترض أن نطاق الترددات المتقاسمة يساوي 1 MHz، ونستعمل كل من خوارزميات الانتقاء العشوائي للقناة وخوارزميات "бинية" على الوصلة الصاعدة في آن معاً.

وبالنظر إلى قيم المعلمات المتنقة، تصبح المعادلة  $C/(N + I) = C/N + I$  كما يلي:

$$(44) \quad C/(N + I) = \frac{\frac{10^{3.204}}{d_{MS}^4}}{10^{-15.07} + \int_{\frac{CF_{MS} - \frac{B_{IF}}{2}}{2}}^{\frac{CF_{MS} + \frac{B_{IF}}{2}}{2}} \sum_{MESs} \frac{10^{2.815} \times e.i.r.p_0(CF_{MES} - f)}{d_{MES-MS}^4} df}$$

يوضح الجدول 5 قيم احتمال الحد الأعلى للتداخل، وهي محسوبة بواسطة برنامج المحاكاة بالنسبة إلى مجموع المعلمات المأهولة في الاعتبار. (تمثل الاحتمالات المحسوبة انطلاقاً من النموذج احتمالات تداخل مع النظام DCAAS غير النشط. وبالتالي، فهي تمثل قيم الاحتمال العليا. وقد تكون الاحتمالات الحقيقية للتداخل باستعمال تقنية DCAAS هي نفس احتمالات الجدول 5 مضروبة في احتمال إخفاق نظام DCAAS في الكشف عن قناة نشطة (على سبيل المثال،  $10^{-3}$ )<sup>4</sup>). ويصعب في بعض الأحيان، تفسير الاحتمالات الخام؛ ولذلك يجري تحويل هذه الاحتمالات إلى مدد زمانية متوسطة بين أحداث التداخل، على نحو ما يرد في الجدول 6. ونحصل على المدة المتوسطة بين أحداث التداخل في الجدول 6 بضرب عكس الاحتمال، الوارد في الجدول  $5 \times 0,5 \text{ s}$ ، مدة إرسالات المحطة MES التي يستعملها النموذج. ولا تصح نتائج الجدولين 5 و 6 إلا عندما تكون المحطة LMS في حالة عمل مستمر. ويحتوي الجدول 7 على متوسط المدة بين أحداث التداخل لستعمل متنقل أرضي نمطي بحركة تساوي  $0,01 \text{ E}$ .

الجدول 5

### احتمال التداخل

توزيع تجاري		توزيع منتظم		معدل المعطيات بالنسبة إلى الوصلات الصاعدة لمحطات MES (kbit/s)	ترتيب القنوات بالنسبة إلى محطات LMS (kHz)
انتقاء بياني	انتقاء عشوائي	انتقاء بياني	انتقاء عشوائي		
0,00020	0,0013	0,000055	0,00038	9,6	25
0,000022	0,00088	0,0000058	0,00025	4,8	
0,0000034	0,00052	0,00000093	0,00016	2,4	
0,00064	0,00075	0,00019	0,00023	9,6	12,5
0,000069	0,00039	0,000020	0,00012	4,8	
0,0000084	0,00023	0,0000024	0,000067	2,4	
0,00051	0,00049	0,00015	0,00014	9,6	6,25
0,00037	0,00032	0,00011	0,000094	4,8	
0,00026	0,00023	0,000074	0,000066	2,4	

الجدول 6

## متوسط المدة في الحالة الأسوأ بين أحداث التداخل

توزيع تجميعي		توزيع منتظم		معدل المعطيات بالنسبة إلى الوصلات الصاعدة لمحطات MES (kbit/s)	ترتيب القنوات بالنسبة إلى محطات LMS (kHz)
انتقاء بياني (min)	انتقاء عشوائي	انتقاء بياني (min)	انتقاء عشوائي		
دقيقة 42	7	ساعة 3	22	9,6	25
ساعة 7	10	ساعة 24	34	4,8	
ساعة 41	16	ساعة 150	50	2,4	
دقيقة 13	11	دقيقة 44	36	9,6	12,5
دقيقة 120	22	ساعة 7	70	4,8	
ساعة 17	36	ساعة 60	130	2,4	
دقيقة 17	17	دقيقة 55	60	9,6	6,25
دقيقة 23	26	دقيقة 75	90	4,8	
دقيقة 32	36	دقيقة 120	130	2,4	

الجدول 7

## متوسط المدة بين أحداث التداخل بالنسبة إلى مستعمل

غطي ينشط مرسله بواسطة زر ضاغط (E 0,01)

توزيع تجميعي		توزيع منتظم		معدل المعطيات بالنسبة إلى الوصلات الصاعدة لمحطات MES (kbit/s)	ترتيب القنوات بالنسبة إلى محطات LMS (kHz)
انتقاء بياني	انتقاء عشوائي (h)	انتقاء بياني	انتقاء عشوائي (h)		
ساعة 69	11	أيام 10	37	9,6	25
يوماً 26	16	يوم 100	56	4,8	
يوماً 68	27	شهر 21	83	2,4	
ساعة 22	18	ساعة 73	60	9,6	12,5
ساعة 200	36	يوماً 29	120	4,8	
يوماً 71	60	شهر 8	210	2,4	
ساعة 28	28	ساعة 92	100	9,6	6,25
ساعة 38	43	ساعة 130	150	4,8	
ساعة 53	60	ساعة 190	210	2,4	

يمكن، فيما يخص الترتيبات الأخرى لقنوات محطات MES، ومعدل المعطيات بالنسبة إلى الوصلات الصاعدة لمحطات MES أو معلمات مختلفة عن المعلمات التي استعملت في هذا المثال، تحديد القيم التقريرية لاحتمال التداخل والمدة المتوسطة بين أحداث التداخل بواسطة استكمال داخلي.

### 3 احتمالات التداخل الذي تسببها محطات LMS في السواتل non-GSO MSS

يمكنا أن نحدد عن طريق المحاكاة، بالاستناد إلى نموذج الفقرة 3 من الملحق 3 من هذه التوصية، عدد المحطات المتنقلة الأرضية داخل حزمة الوصلة الصاعدة لساتل MSS الذي بإمكانه أن يعمل في تقاسم الطيف مع الإبقاء على متوسط 6 قنوات على الأقل لكل ساتل بالنسبة إلى الوصلات الصاعدة للنظام MSS. وتمثل فرضية العدد المتوسط للقنوات لكل ساتل الحالة الأسوأ طالما أن متوسط عدد القنوات على مجموع السواتل المرئية يفوق متوسط عدد القنوات لكل ساتل؛ وبالتالي، تحدد فرضية الحالة الأسوأ حداً أدنى لعدد المحطات LMS التي يمكن أن تعمل في نطاق تقاسم الطيف. ويتطابق أثر الساتل تقريباً مع منطقة الدول المجاورة للولايات المتحدة الأمريكية، أي 12 مليون<sup>2</sup>.km. وفيما يلي قيم المعلمات التقنية المضافة اللازمة لهذا المثال:

$$\text{ساتل نظام } G/T = \text{MSS} (K^{-1}) \text{ dB } 30,1 -$$

كسب هوائي المخطة  $\text{dB}_i = \text{LMS} - 6$  في الاتجاه الأفقي و 0  $\text{dB}_i$  في اتجاه الساتل.

نفترض أن هوائي مستقبل الساتل لنظام MSS لا يقدم فك اقتران الاستقطاب بالنسبة إلى إشارات المخطة LMS؛ وعليه، يُحدد عامل تمييز الاستقطاب بكونه مساوياً لـ 1,0.

وعتباً لقيم المعلمات المتقدمة، تصبح المعادلة  $I/N$ :

$$(45) \quad (I/N)_{CH} = \frac{10^{6,25}}{BW} \cdot \int_{CF_{CH} - \frac{BW}{2}}^{CF_{CH} + \frac{BW}{2}} \sum_{MSS} \left( e.i.r.p_0 (CF_{MS} + \Delta f_{Doppler} - f) \right)_{MS} df$$

وقد أخذ في الاعتبار أربعة عوامل تخص متوسط نشاط المخطة LMS، 0,003، 0,001، 0,001 و E 0,0003 (يعمل الإرلنغ وحدة قياس كثافة الحركة. وهو يمثل، في هذا السياق، وحدة قياس نشاط المخطة LMS). وتطابق هذه العوامل على التوالي مع متوسط إرسال محطات LMS 432، 130، 43 و 13 دقيقة في الشهر. وإذا افترضنا عامل نشاط صوتي قدره 0,4، تعادل عندئذ مدة الحادثة على التوالي 1 080، 325، 108 و 33 دقيقة في الشهر. وجدير بالذكر أن هذه المتوسطات تحسب بالنسبة إلى مجموع محطات LMS وطيلة الشهر بأكمله.

ويبي الجدول 8 الحدود الدنيا لعدد محطات LMS الواقعة في الدول المجاورة للولايات المتحدة الأمريكية، والتي تستعمل 1 MHz من تقاسم الطيف؛ وتحسب هذه الحدود بواسطة برنامج المحاكاة بالنسبة إلى مجموع المعلمات التي تم النظر فيها.

الجدول 8

#### الحدود الدنيا لعدد المحطات المتنقلة الأرضية التي تستعمل 1 MHz من تقاسم الطيف

متوسط عامل نشاط المخطة LMS				معدل المعطيات على الوصلة الصاعدة للمخطة MES (kbit/s)	ترتيب القنوات بالنسبة لمحطات LMS (kHz)
0,0003 E	0,001 E	0,003 E	0,01 E		
380 000	120 000	38 000	12 000	9,6	25
550 000	170 000	55 000	17 000	4,8	
770 000	230 000	77 000	23 000	2,4	
520 000	160 000	52 000	16 000	9,6	12,5
800 000	240 000	80 000	24 000	4,8	
1,2 مليون	350 000	120 000	35 000	2,4	
600 000	180 000	60 000	18 000	9,6	6,25
1,2 مليون	350 000	120 000	35 000	4,8	
1,9 مليون	580 000	190 000	58 000	2,4	

يبين الجدول 9 الحدود الدنيا بالنسبة إلى 5 MHz من تقاسم الطيف. وتعتبر هذه الحدود أعلى بخمس أمثال من الحدود المحسوبة بالنسبة إلى 1 MHz من تقاسم الطيف.

### الجدول 9

الحدود المنخفضة لعدد المحطات LMS التي تستعمل 5 MHz من تقاسم الطيف

عامل متوسط نشاط المخطة LMS				معدل المعطيات على الوصلة الصاعدة MES (kbit/s)	ترتيب القنوات بالنسبة لمحطات LMS (kHz)
0,0003 E	0,001 E	0,003 E	0,01 E		
3,7 مليون	1,1 مليون	370 000	110 000	9,6	25
4,2 مليون	1,3 مليون	420 000	125 000	4,8	
5,7 مليون	1,7 مليون	570 000	170 000	2,4	
3,8 مليون	1,2 مليون	380 000	115 000	9,6	12,5
6,3 مليون	1,9 مليون	630 000	190 000	4,8	
8,5 مليون	2,6 مليون	850 000	255 000	2,4	
4,0 مليون	1,2 مليون	400 000	120 000	9,6	6,25
7,7 مليون	2,3 مليون	770 000	230 000	4,8	
15 مليون	4,5 مليون	1,5 مليون	450 000	2,4	

أما فيما يتعلق بقيم المعلمات التي لا ترد في الجداول، فيمكن تحديد القيم التقريرية للحدود الدنيا بواسطة استكمال داخلي.

### الملحق 4

#### استعمال تقنية التخصيص الدينامي للقناة بغية تفادي تداخل التردد

#### 1 مقدمة

يرد في هذا الملحق وصف إحدى التقنيات التي تستعملها شبكات non-GSO MSS للكشف عن القنوات المحررة في أنظمة خدمة الأرض العاملة في نفس النطاق الترددية التي تستعملها محطات MSS بمبدأ الإرسال على الوصلات الصاعدة. ومع أن خصائص نظام DCAAS التي ورد ذكرها في هذا الملحق تمثل نفس خصائص شبكة LEOTELCOM-1، فإن شبكات أخرى لنظام MSS تعتمد أنظمة مسح نطاقات مماثلة، تعمل عادة حسب نفس المبادئ، وإن كانت تختلف أحياناً من حيث التنفيذ.

وقد ثبتت جدواً هذه التقنية، بوصفها أداة رئيسية لتفادي التداخلات التي يمكن أن تطرأ على الخدمات الأرضية، التي تتمتع بتوزيعات أولية في نفس النطاق. وستُستعمل كلمة DCAAS لوصف هذه التقنية التي نفذت بنجاح في الشبكة الساتلية LEOTELCOM-1 لنظام MSS. وترتدي نهاية هذا الملحق معلومات تتعلق بالاختبارات.

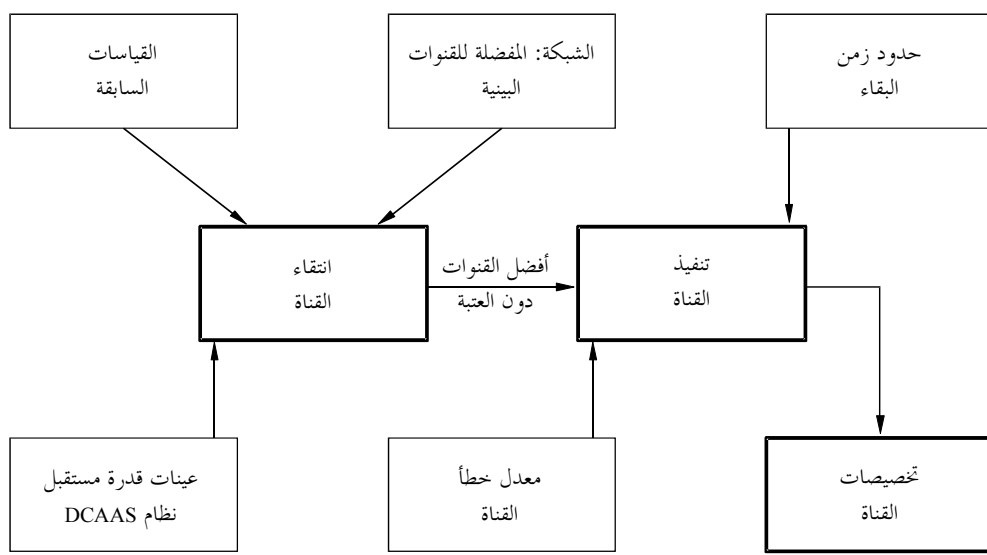
## 2 تشغيل نظام DCAAS

تملك جميع سواتل الكوكبة نظام DCAAS يتكون من مستقبل ووحدة معالجة (انظر الشكل 14). ويقوم هذا النظام بمسح نطاق الوصلة الصاعدة للمحطة MES (إرسالات أرضية، فوacial قدرها 2,5 kHz)، وبالتعرف على القنوات غير المستعملة التي يخصصها للمحطات MES بغرض الاستعمال على الوصلات الصاعدة. ويتمثل المدف من وراء هذه العملية في تفادي أن تسبب إرسالات المحطات MES التداخل في مستقبلات الأرض؛ وبعبارة أخرى، العمل على أن لا تقوم المحطات MES بالإرسال على القنوات المتنقلة النشطة.

يمثل الشكل 14 عرضاً تصويرياً ل مختلف العوامل التي تؤثر في عمليات الانتقاء وتشغيل القنوات التي يقوم بتنفيذها نظام DCAAS.

الشكل 14

### تشغيل نظام DCAAS



1039-14

#### 1.2 انتقاء القناة

٣- تُحدد الخوارزمية القنوات المفضلة المتاحة لكل مسح حسب ثلاثة معايير:

- اعْتِيَانَ الْقَدْرَةِ - يعتمد المعيار الأول للانتقاء على اعْتِيَانَ الْقَدْرَةِ، حيث يقوم مستقبل السائل، الذي يعمل بأسلوب DCAAS، بمسح جميع القنوات في حيز العمل الذي يتم اختياره. وتعتبر القنوات التي تكون فيها سوية القدرة أقل من عتبة معينة، قنوات تحتمل التيسير. ويعُد تحديد عتبة اعْتِيَانَ الْقَدْرَةِ قراراً صعباً، وهو ما يجعل من هذا المعيار معيار الانتقاء المهيمن.

- الشبكة المفضلة - يمثل المعيار الثاني لانتقاء القنوات في الشبكة المفضلة. ويوجد عدد كبير من الأنظمة اللاسلكية في العالم (بحد من بينها الأنظمة الخلوية وأنظمة المراسلات الراديوية) التي وقع تخصيص قنوات لها حسب خطة أو شبكة ترتيب القنوات عند القيمة 20 kHz، 25 kHz، إلخ. وقد صُمم النظام الساتلي لإعطاء الأفضلية للقنوات المتبااعدة بقيمة متوسطة ، تتضمنها المعايير المقيدة لخدمة الأرض. وتعد أهمية عامل الأفضلية، في خوارزمية انتقاء القنوات، أعلى من أهمية عامل الجودة، ولكن أقل أهمية من عامل قرار تحديد العتبة. ويبحث نظام DCAAS في كافة القنوات المحتملة على الوصلات الصاعدة، إلا أنه لا يُكشف عن قنوات الشبكات التي تستند إلى خدمة الأرض إلا في الأخير.

- عامل الجودة – يقوم المعيار الثالث لانتقاء القنوات، عامل الجودة، على قياسات عينات القدرة، التي أجريت خلال عمليات المسح السابقة. ويجري تحديد عامل الجودة بواسطة خوارزمية انطلاقاً من القياسات الحالية والسابقة لسويات القدرة.

وعندما تؤخذ جميع العوامل في الاعتبار، يقوم النظام بانتقاء القنوات المفضلة ضمن القنوات المتاحة ويرسل المعلومات إلى وحدة إدارة التوزيع السابق.

وتتجدر الإشارة إلى أنه:

- لا يمكن لنظام MSS أن يقوم بالإرسال إلا إذا استقبل من السائل على الوصلة المابطة إشارة تبين له قنوات الوصلة الصاعدة التي يمكن أن تستعمل،

- إذا لم يكشف نظام DCAAS عن أية قناة غير نشطة خلال نقطة معينة من الزمن، فلن يسمح لمحطات MES بالإرسال. يتبعاً معالج نظام DCAAS، بعد البحث في القنوات غير النشطة، بالقنوات التي يتحمل أن تظل متاحة في الأجل القصير.

## 2.2 تنفيذ القناة

عندما تُحدد عملية انتقاء القناة ترددات القنوات المفضلة، تُخصص هذه القنوات بشكل مسبق ومحدد، بعرض النفاذ العشوائي (حيازة/اتصال) أو الحجز (المراسلات). وتُوزع القنوات المتبقية على مجموعة احتياطية، تستعمل في حالة انتهاء المؤقت المحدد لوقت شغل القناة بالنسبة إلى المستقبليين بنفاذ عشوائي أو في حالة تجاوز عتبة قياس جودة الأداء (معدل الأخطاء):

هناك أربعة شروط تحدد تبديل القناة بالنسبة إلى مستقبلي السائل:

- تجاوز عتبة معدل أخطاء المستقبل بنفاذ عشوائي؛
- تجاوز عتبة معدل الأخطاء المستقبل احتياطي؛

تشير عملية انتقاء القنوات التي تستعمل معطيات مسح DCAAS الجديدة إلى سوية القدرة التي تتجاوز عتبة عامل الجودة في القناة المخصصة حالياً؛

انقضاء المؤقت الذي يحدد وقت شغل القناة، إذا تم تنشيطه.

وعندما تقوم بضعة محطات MES بالإرسال في اتجاه السائل، تتوقف مدة القرار للانتقال إلى تردد آخر لقناة الوصلة الصاعدة (يستعملها السائل) على العلاقة بين بداية تداخل يُكشف عنه على مستوى السائل ومسح نظام DCAAS. ويتسم نظام DCAAS الذي يشغل عامل بوقت إعادة يُقدر بحوالي 5 ثوان.

وعندما تقوم عدة محطات MES بالإرسال في اتجاه السائل، تقل مدة قرار تغيير تردد قناة الوصلة الصاعدة حلماً تتجاوز القناة الأولية عتبة معدل الخطأ.

وكما يمكن ملاحظته، يستعمل نظام DCAAS معطيات المسح الحرارية للتعرف على القنوات التي تبدو في الظاهر غير نشطة، ثم يزدوج بين هذه المعطيات ومعطيات المسح السابق ليحدد احتمالات عدم نشاط القنوات.

## 3.2 طول الرسالة

لا يمكن للمشتراك أن يقوم إلا بنوعين من الإرسال ضمن كوكبة تميز بخفة حركة التردد، وهما: إرسال قصير يقابل طلب النفاذ إلى قناة بنفاذ عشوائي أو إرسال رسائل أطول على قناة إرسال. ويتم التحكم في كل إرسال للرسائل بشكل محدد فيما يخص التردد ومدة الإرسال. يتغير تردد القناة بنفاذ عشوائي ضمن تحكم النظام DCAAS بشكل متواتر، ويتم الإيقاف دائماً على القناة التي لا تخضع لازدحام من طرف مستعملٍ نظام الأرض.

عندما يدرك المشترك داخل النظام، يمكنه إرسال حزمة اتصالات واحدة بنسبة 15 بايت، أو طلب إرسال رسالة أطول.

إذا رغب المشترك في إرسال أطول، عليه أن يطلب النفاذ إلى قناة المراسلة وأن يحدد الطول الكلي للرسالة التي يرغب في إرسالها. ويكون الطلب نفسه عبارة عن حزمة تبلغ 15 بايت، ومرة بنسبة 50 ms. ويتم إعلام المشترك بالطول الأقصى للرسالة أي بالعدد الأقصى للبيانات الذي يمكن إرساله من طرف المستعمل خلال رشقة واحدة، بتردد إرسال محمد يحصل عليه بالنظام DCAAS. وستستعمل هذه القيمة القصوى المتاحة فيما يخص طول الرسالة للتحكم في الطول الأقصى لإرسال الرسالة الذي يقوم به المشترك والذي ينبغي أن يكون أقل من 450 ms إلى 500 ms على تردد إرسال واحد. وبما أن المصفحة الأولية بين المشترك والسائل تم على قناة تستعمل كقناة تحكم بنفاذ عشوائي، فسترسل رسالة المشترك على تردد مختلف.

وإذا كان طول الرسالة الأقصى المسموح به أصغر من طول رسالة المشترك، فسيتم إرسال الرسالة خلال رشقات متعددة. ويتم التحكم في تردد الإرسال لكل رشقة من قبل النظام DCAAS على متن السائل وباستعمال ترددات مختلفة. وهكذا يتم التحكم في المدة القصوى التي يشغل خلالها المشترك قناة بتردد واحد

### 3 اعتبارات نظام DCAAS واحتمالاته

#### 1.3 احتمال تخصيص قناة نشيطة

لا يرى في بعض الأحيان، مستقبل نظام DCAAS الساتلي مرسل الخدمة الأرضية المتنقلين بسبب وجود عائق مثل المبني في المسير أرض - فضاء. ومن ثم، يمكن لمستقبل DCAAS يتحقق في الكشف عن مرسل متنقل، أن يقوم على سبيل الخطأ بتخصيص قناة نشيطة لمرسل محطة MES آخر. يختلف احتمال حدوث هذا النوع من الأخطاء بحسب المكان والطوبوغرافيا المحلية.

وفيمما يلي العوامل الأخرى التي يصعب إحصاؤها والتي تؤثر في احتمال تخصيص نظام DCAAS لقناة نشيطة:

- إذا استعملت الخدمات المتنقلة الأرضية التي تطبق إعادة استعمال الترددات، النطاق الترددية استعمالاً كثيفاً، فإنه من المحتمل جداً أن تُستعمل نفس القناة من طرف مستقبل ثان يراه السائل، ويحول بذلك دون تخصيص نظام DCAAS لهذه القناة؛

- إذا حدثت إعاقة للمسير أرض - فضاء بين مرسل متنقل وسائل، من المحتمل جداً أن تحدث كذلك إعاقة للمسير الأرضي بين محطة MES والمستقبل المتنقل. ومن المتوقع أن يكون احتمال إعاقة المسير الأرضي مرتفعاً جداً في المناطق التي يكون فيها احتمال إعاقة المسير أرض - فضاء أكثر ارتفاعاً؛

- ستُقدر الخوارزمية التنبؤية لمعالج DCAAS احتمال عدم تداخل القنوات المتاحة حتى نهاية المسح اللاحق. وتأخذ الخوارزمية في الاعتبار معطيات المسح الأخير، بحيث لا يتم تخصيص قناة يستعملها مرسل متنقل للخدمة الأرضية بختفي فجأة وراء حاجز، لكي تستعمل ثانية إذا كانت هناك قنوات أخرى متاحة.

وبالنظر إلى كل هذه العوامل، قد يصبح من الصعب جداً الحصول على احتمال وحيد فيما يتعلق بتخصيص نظام DCAAS لقناة نشيطة، نظراً إلى أن هذا الاحتمال يختلف من منطقة جغرافية إلى أخرى. إلا أن حسابات التداخل التي قد تستعمل لهذا الاحتمال لا تحتاج إلا إلى تقدير تقريري. ومن ثم، يكون احتمال خطأ نظام DCAAS ضعيفاً جداً.

#### 2.3 احتمال إرسال محطة MES بالقرب من مستقبل متنقل

عندما لا يكشف نظام DCAAS عن المرسل المتنقل لخدمة الأرض مستعملاً القناة التي يخصصها للمحطة MES، من الممكن أن يحدث تدخلاً في المستقبل المتنقل، وذلك بحسب عوامل مختلفة (المسافة بين محطة MES والمستقبل المتنقل، عدد محطات MES، احتمال إرسال المحطة MES في نفس الوقت الذي يقوم المستقبل المتنقل بالاستقبال). ويتم تناول هذه المسألة في الملحقات 1 و 2 و 3.

#### 4 احتمال تفادي التداخلات بفضل تقنيات نظام DCAAS – ملخص

خصص المؤتمر العالمي للاتصالات الراديوية لعام 1992 (WARC-92) نطاقات التردد 137-138 MHz (الوصلات الهاابطة) و 148-149,9 MHz (الوصلات الصاعدة) لنظام MSS. وتقاسم خدمات الأرض كذلك هذه النطاقات. وتسمح تقنية MES (بالسوائل) بالإرسال مع تفادي إحداث تداخل على مستعملين آخرين في النطاق 149,9-148 MHz. ولذلك، تستعمل عادة الوصلات الهاابطة.

وعلى وجه التحديد، يجري استعمال النطاق 148-149,9 MHz استعملاً مكثفاً من طرف أنظمة الخدمة الأرضية. وينبغي لنظام MSS، كي يعمل على نحو فعال، أن يقوم بالمسح والتعرف على القنوات العاملة في هذا النطاق وغير المستعملة بنشاط خلال المسح، الذي يدوم بعض ثوان. ولا يمكن أن يعمل نظام ساتلي للنظام FDMA في النطاق 149,9-148 MHz دون أن يستعمل إحدى التقنيات من نمط تقنية DCAAS. وقد تؤدي كل محاولة للاستقبال على قناة يستعملها مرسل أرضي استعملاً نشيطاً إلى حدوث تداخل في السائل وإلى خسارة كلية لمعطيات نظام MSS.

#### 1.4 ملامح طريقة التقاسم

يقوم نظام DCAAS بالتعرف على القنوات التي تستعملها خدمات الأرض بنشاط ثم يتفاداها. وتنطوي طريقة التقاسم التي تستعملها هذه التقنية على خمسة ملامح:

- يمسح النظام الذي ينفذه عامل النطاق التردد المستعمل (البحث في القنوات غير النشطة) كل خمس ثوان. ولا يسمح نظام DCAAS بمحطات MES بالإرسال إذا لم توجد قنوات غير نشطة متيسرة. ويتفادي تحصيص قنوات متنقلة نشطة (e.i.r.p. في اتجاه السائل < 7,5 kHz 0,1 W) بمحطات MES التي تستعمل بمدف الإرسال على الوصلات الصاعدة؛

- من غير المرجح، إذا قام نظام DCAAS بتحصيص قناة نشطة على سبيل الخطأ، أن توجد محطة MES مُرسلة قريبة جداً من وحدة متنقلة في حالة استقبال بحيث يتم الكشف عنها؛

- إذا قام نظام DCAAS بانتقاء قناة يجري فيها التداخل، فإنه يقوم على الفور بانتقاء قناة أخرى؛

- يزيد قصر مدة رشقات الإرسال بمحطات MES من تخفيف آثار التداخل؛

- ويمكن لبنية إرسال مراسلات المحطة MES، حتى في حالة التداخل، أن تمنع استمرار هذا التداخل أو حدوثه مرة أخرى.

تضمن هذا الملحق وصف تقنية DCAAS. ويمكن تنفيذ المبادئ الأساسية لهذه التقنية بطرق مختلفة. فعلى سبيل المثال، يستعمل نظام MSS LEO-L تقنية التخصيص الدينامي الرقمي للقنوات، وهي طريقة تعتمد على معالجة تحويل فورييه السريع (FFT) في السائل بمدف معاينة النطاق على الوصلة الصاعدة بأكمله والتعرف على قنوات الوصلة الصاعدة المحررة في آن معاً وذلك من أجل تحصيص مطراف المشاركين في نظام MSS. ويسمح المستقبل الذي يستعمل مسح نطاق لقنوات الوصلة الصاعدة لنظام MSS بأن تُخصص من جديد (كل 0,5 ثانية تقريباً) وذلك بعد تقديم لتسير القنوات. وتتحدد الاستجابة المتوقعة بحسب التردد وعرض النطاق. فعلى سبيل المثال، يمكن لمستقبل مسح النطاق التابع لنظام LEO-L الكشف عن إشارة شدقاً 3,5 mW لمدة 0,5 ثانية، في تردد 460 MHz في عرض نطاق 2,5 kHz وذلك في أي مكان من أثر السائل، مصحوبة باحتمال قدره 99,9%. وبخصوص إشارة 16 kHz، تكون الحساسية 22 mW. وعند 149 MHz، تكون قيمة حساسية قدرة الإرسال على التوالي، 0,4 mW 2,3 mW، بالنسبة إلى إشارات تبلغ قيمتها 2,5 kHz و 16 kHz. وتسمح هذه الحساسيات للوصلات الصاعدة للنظام non-GSO MSS بتفادي القنوات التي تستعملها أنظمة محطات LMS؛ ولا يكون تقاسم النطاق ممكناً بين نظام non-GSO MSS والمحطة MES تحت 1 GHz إلا في حدود الازدحام.

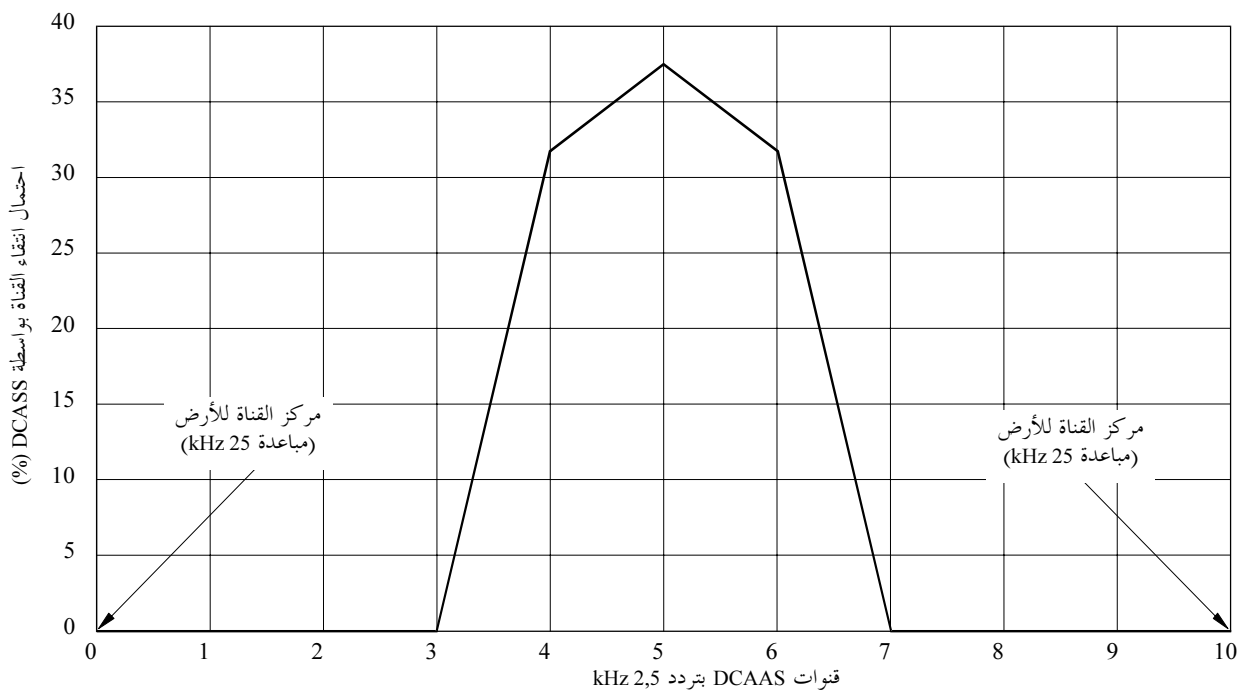
## 5 البرهنة على إمكانيات تفادي التداخل

### 1.5 محاكاة أولية للاختبارات

تعد الأنظمة المتنقلة الأرضية، في عدد كبير من البلدان، المستعمل الرئيسي للنطاق التردد على الوصلة الصاعدة. وقد صُمم نظام DCAAS، بشكل محدد، لتفادي القنوات المشغلة في هذا النطاق. ويستجيب هذا النظام، بتحديد القنوات غير المشغلة وتحصيص القنوات "الحررة" للمحطات الأرضية المتنقلة التي يستعملها المشاركون، إلى المعايير المحددة. ويوضح الشكل 15 احتمال انتقاء خوارزمية DCAAS للقنوات. وقد خضعت هذه الخوارزمية إلى الاختبار في إطار المحاكاة التي أُنجزت اطلاقاً من مجموع معطيات شغل الترددات على امتداد سنة كاملة، وقد جمع هذه المعطيات ساتل البرهنة على الاتصالات (CDS, communications demonstration satellite) الذي يجمع معطيات المسح في النطاق MHz 149,9-148 MHz وعلى ارتفاع 750 km. وتعد سواتل CDS سواتل تجريبية تعمل على مدار منخفض، وصممت بمدف جمع المعلومات المتعلقة باستعمالات خدمات الأرض للنطاق MHz 149,9-148 MHz. وقامت هذه السواتل على امتداد سنتين تقريباً بجمع معطيات على ارتفاع يُقارب 750 km.

الشكل 15

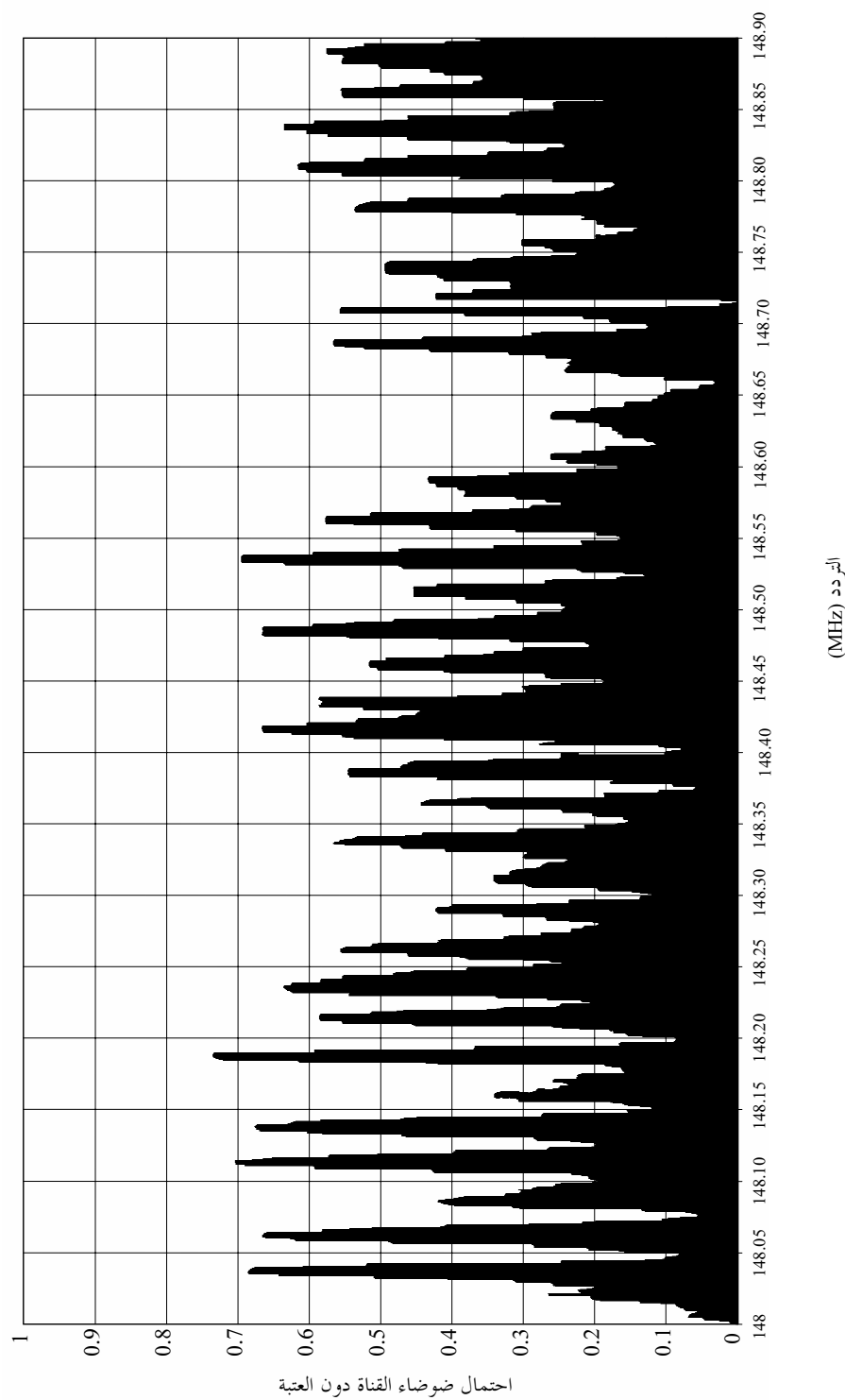
### انتقال الترددات بواسطة خوارزمية DCAAS



اعتماداً على عمليات محاكاة باستعمال بيانات شغل الترددات  
طوال سنة كاملة جُمعت من ساتل اتصالات تجريبية (CDS)

1039-15

شكل 16  
احتمال القنوات الخالية من الشفاف



## 2.5 اختبارات البرهنة

اضطاعت إحدى الإدارات مؤخراً بإعداد برنامج اختبارات من أجل تقييم حساسية مستقبل ساتل non-GSO MSS وإنكاليتات نظام DCAAS في الكشف عن قدرة الضوضاء أو شغل القنوات بفعل الضوضاء المرتفعة أو حاملة متنقلة أرضية صوتية وتماثلية، في النطاق MHz 149,9-148. وقد أجريت مجموعة من اختبارات البرهنة (DTS, demonstration test set) على امتداد يومين حدث فيها، يومياً وفي المتوسط، من 6 إلى 8 مروراً فعالاً للساتل (زاوية ارتفاع عالية).

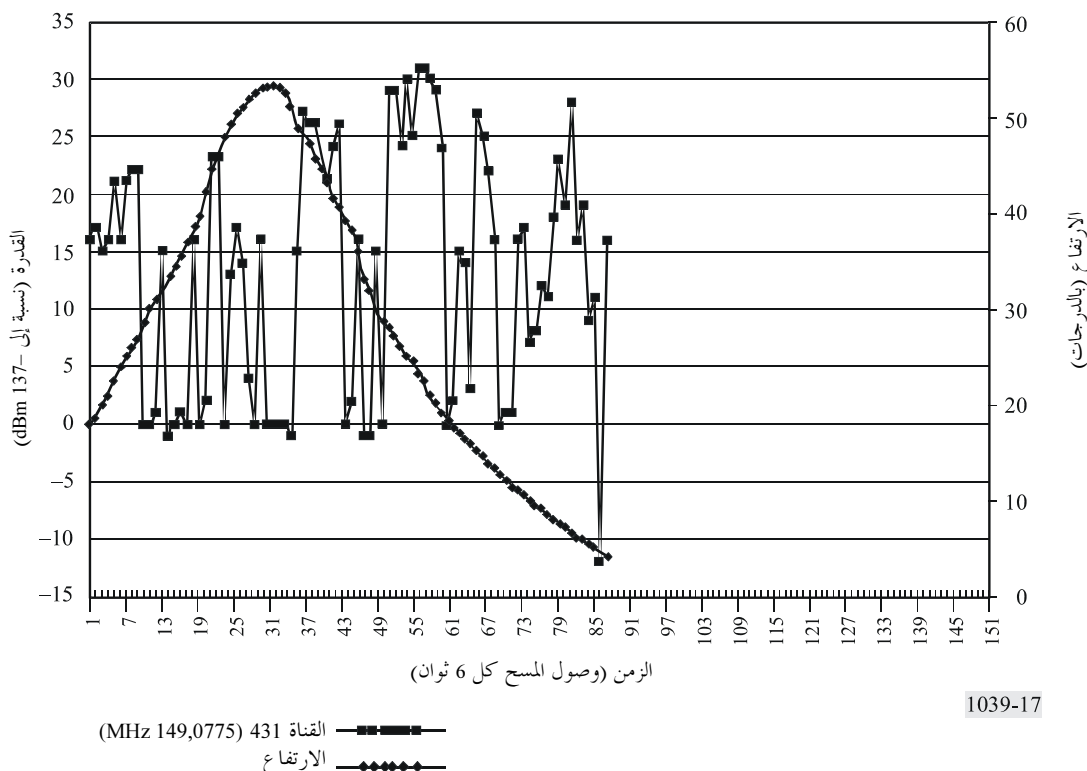
وقد أجريت ثلاثة أنماط من الاختبارات:

- اختبارات حساسية مستقبل الساتل؛
- تبديل بواسطة نظام DCAAS في ظل ظروف عادية وعلى إثر محاكاة إرسال محطة أرضية متنقلة في القناة التي خصصها نظام DTS؛
- محاكاة نظام DTS لإشارة تداخل لمحطة أرضية متنقلة تقوم بالإرسال في نفس قناة نظام منتقل أرضي صوتي وتماثلي.

### 1.2.5 اختبارات حساسية مستقبل الساتل

وقع تشكيل نظام DTS من أجل استقبال معطيات المسح التي يرسلها الساتل على الوصلة المابطة. وقد بيّنت معطيات المسح سوية (قدرة) الضوضاء في النطاق MHz 149,9-148 التي يمكن للساتل معاينتها داخل منطقة التغطية التي يبلغ نصف قطرها 3 000 ميل. وقد مكن المحسن التتحقق في حساسية مستقبلي السواتل الكاشفة عن مرسلي المراسلات الراديوية ذات القدرة العالية والتي تستعمل في شبكات المراسلات الراديوية والإدارات، وفي إرسالات محطة القاعدة المتنقلة التي تستعملها الإدارات المعنية لإرسال موجة حاملة ذات W 5 عند زوايا ارتفاع مختلفة للساتل وذلك عند مرور هذا الأخير. وقد كشف الساتل، كما يوضح ذلك الشكل 17، عن موجة حاملة محطة القاعدة المتنقلة عند زوايا ارتفاع 50° و30° عندما كانت الموجة الحاملة نشيطة وعند زوايا ارتفاع 45° و20° عندما كانت الموجة الحاملة غير نشيطة. وثبت أن سوية ضوضاء مستقبل الساتل كانت تقارب -137 dBm في عرض نطاق قناة المستقبل داخل القيمة 2,5 kHz. وكانت سوية الضوضاء كافية للكشف بسهولة عن مرسل محطة LMS في 500 mW.

الشكل 17  
قدرة الإرسال عند مرکبة فضائية

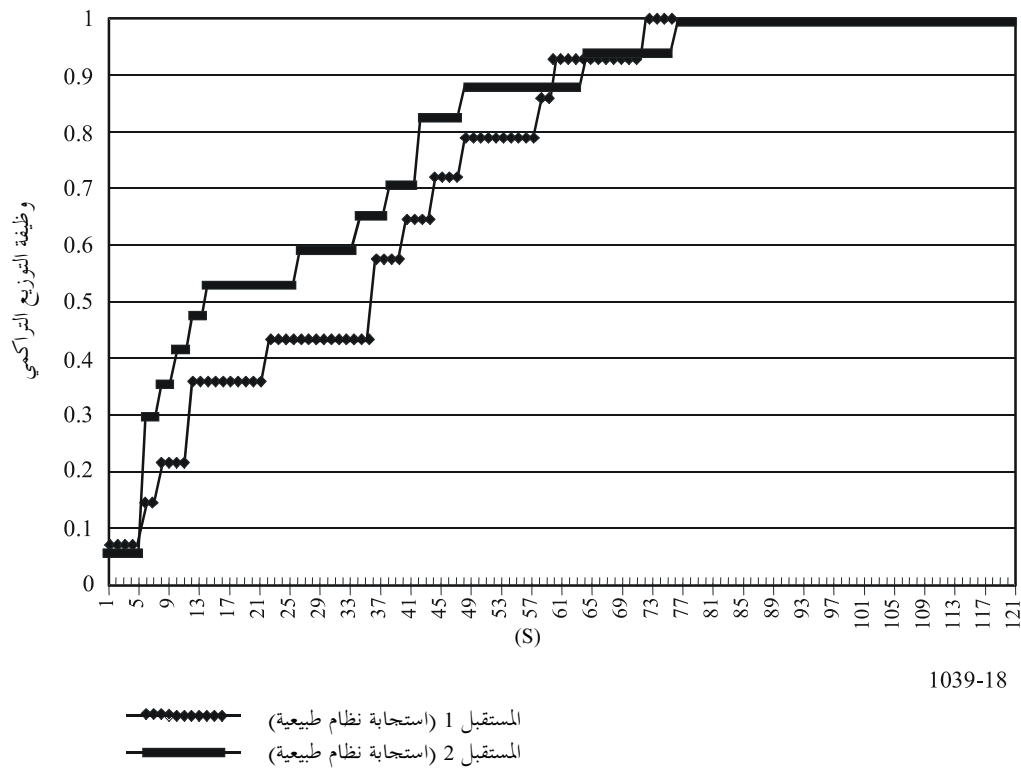


### 2.2.5 الاختبارات التي أجريت على نظام DCAAS

شكل نظام DTS في البداية، وذلك خلال الاختبارات التي أجريت على نظام DCAAS، لمراقبة تبديل القنوات المخصصة على الوصلة الصاعدة بواسطة نظام DCAAS، ويجرى التحكم في تبديل نظام DCAAS بحسب الشغل الحقيقي للطيف. وبالفعل، يبدو أن تبديل القنوات يحدث، خلال 60% من الوقت، في أجل قدره 30 ثانية، كما يتضح ذلك من الشكل 18 (توزيع تراكمي لتغيير قنوات الاستقبال 1 و2). وقد قام الاختبار اللاحق بمحاكاة تداخل مرسل المخطة المتنقلة الأرضية أو تداخل قدرة الضوضاء المرتفعة في قناة الاستقبال المخصصة على السائل. ويحدث هذا الاختبار الذي يطلق عليه الاختبار القسري لنظام DCAAS، بإنشاء نظام DTS حتى يستقبل المعلومات المتعلقة بالقنوات المخصصة على الوصلة الصاعدة من نظام DCAAS، كما لو كان الأمر يتعلق بالمخطة MES. غير أن نظام DTS، بدلاً من أن يرسل معلومات الحيازة، يحدث إشارة ضوضاء عشوائية على هذه القناة.

الشكل 18

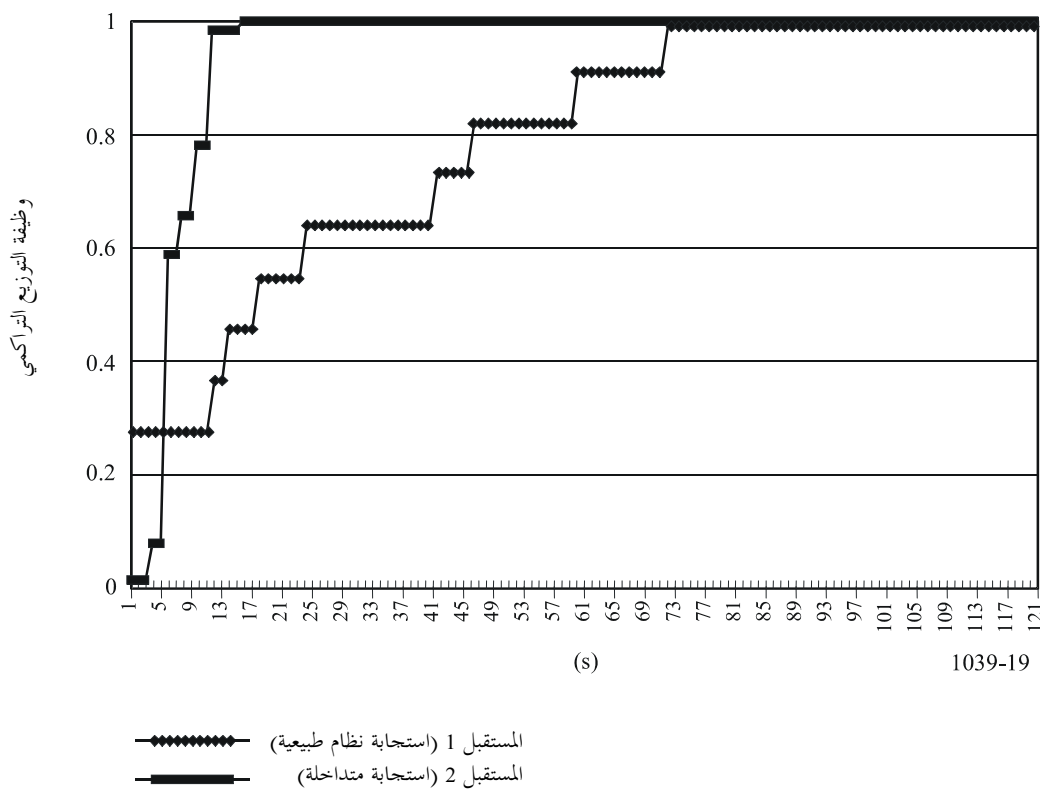
توزيع فترات انتقاء القنوات



1039-18

لقد سمحت هذه الاختبارات بالتحقق من أن نظام DCAAS قد يبدل قناة الاستقبال بعد مسح واحد (مدة تناهز 6 ثوان) خلال 60% من الوقت وبعد مسحين اثنين ( حوالي 12 ثانية) خلال ما يزيد عن 90% من الوقت (انظر الشكل 19).

الشكل 19  
توزيع فترات انتقاء القنوات



### 3.2.5 تداخلات تعرض لها الأنظمة المتنقلة الأرضية

تم تشكيل نظام DTS، في اختبارات تداخل الأنظمة المتنقلة الأرضية، بعرض محاكاة إرسالات محطة MES لرشقات معطيات تبلغ 3 ms، 50 ms، 100 ms، و 450 ms. ويمكن أن تتغير قدرة هذه الإرسالات من 10 إلى 30 dBm . وقد لوحظت النتائج التالية:

- لا تؤدي رشقات إرسال المحطة MES في نفس القناة إلى فتح جهاز الإسكات بواسطة التحكم النغمي لمستقبلى المحطات المتنقلة الأرضية؛
- تعدد إرسالات رشقات المعطيات للمحطات MES التي تبلغ 3.3 ms قصيرة جداً كي تفتح جهاز إسكات الموجة الحاملة لمستقبل الخدمة المتنقلة أو تسبب التداخل في المحاديث الجارية؛
- يخضع مستقبلو الخدمة المتنقلة المزودين بإسكات الموجة الحاملة عندما تقوم محطة MES بإرسال رشقات معطيات أكثر طولاً (50 ms) على مسافة 25 كم تقريباً في نفس القناة، إلى فتح جهاز الإسكات، وذلك بحسب العائق وحساسية مستقبل الخدمة المتنقلة، وهو ما يتطابق مع مسافات التنسيق المتوقعة والتي ترد في أجزاء أخرى من هذه التوصية؟

-

للحظ أن التأثير الفعلي لإرسالات نظام DTS على الخدمة المتنقلة الأرضية يتم خلال الاتصالات. وفي الحركة، كانت رشقات نظام DTS قابلة للإدراك بالنسبة إلى رشقات معطيات المحطة MES في نفس القناة ذات 50 و 100 ms وإضافة إلى ذلك، فقد توقفت المراسلات المستقبلة عندما كانت مدة رشقات المعطيات تتراوح بين 450 و 500 ms. ولوحظ أيضاً، أن الأثر الذاتي لرشقات نظام DTS يمثل دالة نسبة الموجة الحاملة المطلوبة إلى التداخل، ( $C/I$ )، وتُخضع هذه النسبة مباشرة إلى المسافة الواقعة بين مستقبل الخدمة المتنقلة والمحطة MES وإلى المسافة الواقعة بين هذين العنصرين والمرسل المتنقل الأرضي. ويرد تناول توزيع الاحتمال في أجزاء أخرى من هذه التوصية.

---